



## Sensory Configuration of Stewart Platform by Presenting a High-Performance Computational Procedure

Ali Pakdelnejad, Sina Jalili\*

Faculty of Mechanical Engineering, Sahand University of Technology, Tehran, Iran

**ABSTRACT:** The Stewart platform is primarily used for generating arbitrary motions in three-dimensional space. However, it can also be utilized for measuring the three-dimensional position of an object attached to the moving platform. In this configuration, the Stewart platform functions as a sensory system. One challenge of this application is the high computational cost associated with determining the position of the moving platform relative to the fixed reference platform using data from six-length sensors. In this study, the sensory capabilities of the Stewart platform are investigated by introducing a high-performance and numerically agile approach. This approach involves developing an extended set of nonlinear algebraic equations that are well-suited for real-time applications. By applying this procedure to derive the Cartesian coordinates of three points on the moving platform and comparing the results with those obtained from computer-aided design software, a strong correlation is observed. To further evaluate the effectiveness of the approach, its performance is analyzed when subjected to harmonic time histories from six length sensors and when the legs' base positions are arranged regularly or non-regular on the fixed platform. The results demonstrate that the present method, particularly by updating initial conditions at every time increment, exhibits high computational efficiency.

### Review History:

Received: Mar. 13, 2024

Revised: Jun. 27, 2024

Accepted: Oct. 06, 2024

Available Online: Oct. 26, 2024

### Keywords:

Stewart Mechanism

Sensory Configuration

Forward Kinematics

Parallel Mechanism

### 1- Introduction

The Stewart platform represents one of the early mechanisms devised to produce desired motions with high degrees of freedom in three-dimensional space. It finds extensive applications in the construction and design of various motion simulators. It is composed of a platform with six actuators of variable length connected to six fixed points, three on each of the mobile platforms [1]. Figure 1 illustrates the intended structure, with the lower base typically referred to as the fixed platform and the upper moving base identified as the moving platform.

Previous research has explored a range of methodologies, including numerical methods, neural networks, analytical techniques, sensor utilization, optimization of existing approaches, and combinations of these techniques to address the direct kinematic equations. Husti investigated an algorithm that leads to a univariate polynomial equation of degree 40 [2]. Another prevalent method for the kinematic analysis of this mechanism involves the closed-form formulation using the Newton-Euler method [3]9, which subsequently allows for the application of the iterative Newton-Raphson method to solve the equations [4]. Despite the multitude of methods proposed for solving kinematic equations [5-7], the Newton-Raphson method [8] and its modified variants, as well as combinations with other techniques [9, 10], hold particular

relevance in addressing these equations.

### 2- Forward Kinematics Formulation

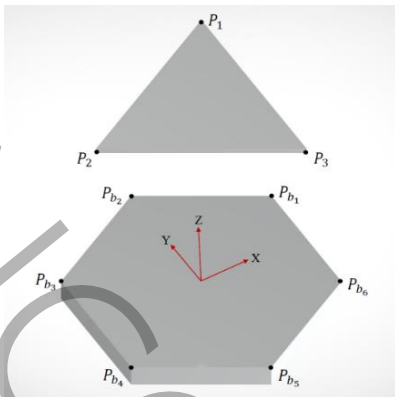
In this section, the n fully nonlinear algebraic approach is presented. Figure 1 shows the most common configuration of a Stewart platform. The longitudinal sensing devices, which are usually in the form of pulleys, replace the actuators such as hydraulic cylinders or linear motors. The final length of each actuator connecting fixed and moving platforms is determined by six input variables, which are relative length changes of sensors. Key points' coordinates on the fixed platform complete the configuration relationships, taking them as input parameters.

The governing equations of these constraints for sensors and actuators in most of the previous research were developed with vector mathematics. This article will, on the other hand, propose scalar equations governing the distance constraints between the main points on the platform. It involves the determination of the intersection of nine spherical surfaces centered on the main points of the platform. The nonlinear equations of nine quadratic equations reveal the spatial coordinates of the three main points on the moving platform. These second-order equations are less nonlinear than previous approaches based on higher-degree equations, which therefore display smoother behavior. They take the

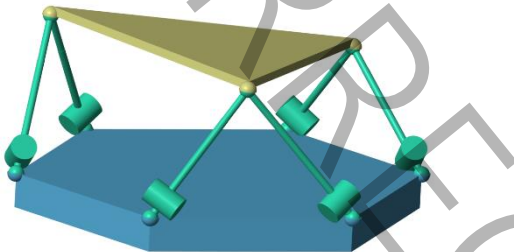
\*Corresponding author's email: sjalili@sut.ac.ir



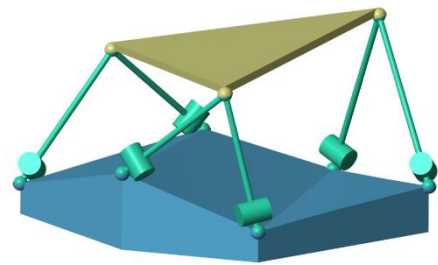
Copyrights for this article are retained by the author(s) with publishing rights granted to Amirkabir University Press. The content of this article is subject to the terms and conditions of the Creative Commons Attribution 4.0 International (CC-BY-NC 4.0) License. For more information, please visit <https://www.creativecommons.org/licenses/by-nc/4.0/legalcode>.



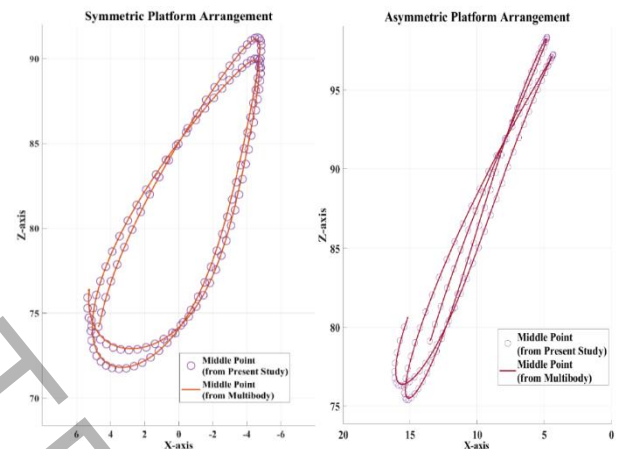
**Fig. 1. Overall view, coordinates, and nomenclature in the Stewart platform.**



**Fig. 2. The assembled platform in the multibody environment (the symmetrical and orderly arrangement of fixed bases is shown).**



**Fig. 3. The assembled platform in the multi-body environment (the irregular arrangement of fixed bases is shown).**



**Fig. 4. The alignment of the mid-point trajectories of the moving platform in the symmetric and asymmetric configurations of the platform actuators.**

following form, when assuming rigidity in both upper and lower platforms:

$$(x_{P_1} - x_{P_{b_1}})^2 + (y_{P_1} - y_{P_{b_1}})^2 + (z_{P_1} - z_{P_{b_1}})^2 = L_1^2 \quad (1)$$

$$\vdots \quad \vdots$$

$$(x_{P_2} - x_{P_3})^2 + (y_{P_2} - y_{P_3})^2 + (z_{P_2} - z_{P_3})^2 = \overline{(P_2P_3)} \quad (9)$$

Subsequently, knowing the position of three points in space provides nine unknowns, a determination of any point in the moving platform is obtainable through three more equations, therefore the coordinates of such points can define a plane in the reference frame. The Euler angles can be correspondingly estimated with any rotation sequence rule with good accuracy.

### 3- Results and Comparison with Multibody Dynamic Software

This section compares the results obtained from MATLAB's Simscape Multibody with simulations with the method presently described. The modeling of the platform for

both symmetric and asymmetric configurations was followed by the definition of constraints as seen in Figures 2 and 3. Periodic input functions were considered for variation in the sensor lengths. The ode45 solver called for a tolerance of  $10^{-9}$ . Note that this software solves governing equations in both kinetic and time differential forms, resulting in a doubling of the processor's computational load.

Figure 4 presents the mid-point trajectories of the moving platform in a symmetric and asymmetric state overlaid, which can compare the proposed solution with multi-body software results. The motion trajectories from the software fully coincide with the trajectories from the proposed algorithm.

### 4- Conclusion

The present study introduces a new approach for direct kinematics and sensory configuration of Gough-Stewart platforms. The system copes with nine second-order nonlinear equations concerning configuration constraints and solutions

are found through the conventional Newton-Raphson, method. While in this investigation, the system outputs the Cartesian coordinates of three points on the moving platform relative to a fixed frame more accurately and efficiently, requiring less iteration and fewer steps hence faster convergence compared to the past conventional methods. Forward kinematics implemented simpler equations compared with the previously reported methods. The proposed approach eligibility was examined for different regular and non-regular configurations of the platform. Results are also compared with three-dimensional software for accurate positions. The results were very close to engineering design software results. One of the factors that influence solution time and steps is updating of initial conditions in time marching which can drastically reduce the time required for direct dynamics problems. Under realistic conditions, six longitudinal sensors generated three-dimensional harmonic motion with the purpose of enabling the algorithm to closely track the moving platform. Additionally, the comparison of the differences between the present approach and the previous methods, in view of the six nonlinear trigonometric equations, illuminates substantial benefits from this research.

The proposed approach is promising for both speed and accuracy of results obtained for application in various fields, such as special movements of objects, precision instruments, calibration of drones, system displacement analysis, and study of fatigue in flexible components. Accordingly, it proves to be highly flexible in the asymmetric setup between the moving and fixed platforms of the Stewart platform sensors, which essentially enhances its effectiveness in complex and practical applications.

## References

- [1] D. Stewart, A platform with six degrees of freedom, Proceedings of the institution of mechanical engineers, 180(1) (1965) 371-386.
- [2] M.L. Husty, An algorithm for solving the direct kinematics of general Stewart-Gough platforms, Mechanism, and Machine Theory, 31(4) (1996) 365-379.
- [3] B. Dasgupta, T. Mruthyunjaya, Closed-form dynamic equations of the general Stewart platform through the Newton-Euler approach, Mechanism, and machine theory, 33(7) (1998) 993-1012.
- [4] K. Harib, K. Srinivasan, Kinematic and dynamic analysis of Stewart platform-based machine tool structures, Robotica, 21(5) (2003) 541-554.
- [5] Z. Wang, J. He, H. Shang, H. Gu, Forward kinematics analysis of a six-DOF Stewart platform using PCA and NM algorithm, Industrial Robot: An International Journal, 36(5) (2009) 448-460.
- [6] A. Nag, V. Safar, S. Bandyopadhyay, A uniform geometric-algebraic framework for the forward kinematic analysis of 6-6 Stewart platform manipulators of various architectures and other related 6-6 spatial manipulators, Mechanism and Machine Theory, 155 (2021) 104090.
- [7] F. Yang, X. Tan, Z. Wang, Z. Lu, T. He, A geometric approach for real-time forward kinematics of the general Stewart platform, Sensors, 22(13) (2022) 4829.
- [8] S. Jalili, F. Torabi, Sensory Configuration of Stewart Platform-A Numerical Study, in: The Biennial International Conference on Experimental Solid Mechanics, Civilica, Tehran, Iran, 2020.
- [9] Q. Zhu, Z. Zhang, An efficient numerical method for forward kinematics of parallel robots, IEEE Access, 7 (2019) 128758-128766.
- [10] H. Zhu, W. Xu, B. Yu, F. Ding, L. Cheng, J. Huang, A novel hybrid algorithm for the forward kinematics problem of 6 dof based on neural networks, Sensors, 22(14) (2022) 5318.

## پیکربندی سنجه‌ای پلتفرم استوارت با ارائه یک شیوه محاسباتی با بازدهی بالا

علی پاکدل نژاد، سینا جلیلی\*

دانشکده مهندسی مکانیک، دانشگاه صنعتی سهند، تبریز، ایران.

### تاریخچه داوری:

دریافت: ۱۴۰۳/۱۲/۲۳

بازنگری: ۱۴۰۳/۰۴/۰۷

پذیرش: ۱۴۰۳/۰۷/۱۵

ارائه آنلاین: ۱۴۰۳/۰۸/۰۵

### كلمات کلیدی:

مکانیزم استوارت

پیکربندی سنجه ای

سینماتیک مستقیم

مکانیزم موازی

**خلاصه:** کاربرد اصلی پلتفرم استوارت برای تولید حرکتهای دلخواه با درجات آزادی بالای فضایی است. با اینحال می‌توان از این بستر برای سنجش وضعیت سه بعدی یک جسم در فضا نسبت به جسم و یا سطح پایه دیگر نیز بهره برد که در این صورت کل این مجموعه همانند یک سنجه عمل کرده و خروجی آن، حالت قرارگیری یک جسم که به پلتفرم بالای مکانیزم استوارت متصل است را بیان خواهد کرد. مشکل اصلی این پیکربندی بار محاسباتی بالا برای تعیین وضعیت پلتفرم متحرک نسبت به ثابت مبتنی بر خروجی شش سنسور طولی است که به جای عوامل تحریک کننده به کار گرفته می‌شوند. در این پژوهش، قابلیت سنجه‌ای پلتفرم استوارت بررسی شده و دیدگاه سینماتیک مستقیم با بازدهی و سرعت عمل بالا مبتنی بر توسعه معادله‌های جبری غیرخطی مرتبه دوم گسترش یافته که آن را برای کاربردهای زمان واقعی مناسب می‌سازد، ارائه شده است. شیوه ارائه شده برای استخراج مختصات دکارتی سه نقطه از پلتفرم متحرک نسبت به پلتفرم ثابت بوده و نتایج حاکی از آن است که الگوریتم پیشنهادی تطابق خوبی با نتایج حاصل از تحلیل حاصل از نرم افزار طراحی سه بعدی مهندسی دارد. قابلیت دیدگاه پیشنهادی با تحلیل تاریخچه زمانی متناوب شش سنجه طولی که به صورت منظم و نامنظم بر روی پلتفرم ثابت توزیع شده اند مورد ارزیابی قرار گرفت و بازدهی بالای محاسباتی آن به ویژه با در نظر گرفتن به روزرسانی شرایط اولیه مشخص گردید.

### ۱- مقدمه

این حال در سال‌های اخیر تلاش‌هایی برای استفاده از این دیدگاه به منظور سنجش و اندازه‌گیری وضعیت صورت پذیرفته است. در این دیدگاه، به جای عوامل محرک با طول متغیر (همانند سیلندرهای هیدرولیک) از عوامل سنجش طولی بهره گرفته‌می‌شود و هدف نهایی از این کار، به دست آوردن وضعیت نسبی دو صفحه نسبت به هم می‌باشد. در عمل این ترکیب به عنوان یک سنجه، وضعیت فضایی جسمی که بر روی پلتفرم متحرک سوار شده است را به دست خواهد داد که تحت عنوان مسئله مستقیم<sup>۱</sup> مطرح می‌شود. مکانیزم استوارت یک نوع مکانیزم موازی است که در سالیان گذشته به دلیل ویژگی‌های دینامیکی آن، برای کاربردهای کنترلی و یا حتی تحلیلی مورد توجه قرار گرفته است و در کنار مکانیزم‌های سری (مانند بازوها رباتیک) کاربردهای ویژه‌ای دارد. زمینه‌هایی همانند بالا رفتن در مکان‌های دشوار [۲]، تولید انرژی از امواج دریا [۳]، مطالعه‌ی رفتار جسم و استفاده از داده‌های آن برای شبیه‌سازی و تحلیل رفتار خستگی آن [۴]، کاربری‌های معماری در معماری‌های متغیر [۵]، علوم پزشکی و توانبخشی اعضای بدن

پلتفرم استوارت<sup>۱</sup> یکی از قدیمی‌ترین مکانیزم‌ها برای تولید حرکت‌های دلخواه با درجات آزادی بالا در فضا بوده که در ساخت و طراحی انواع شبیه‌سازهای حرکتی کاربرد زیادی دارد. گرچه تاکنون طرح‌های به ظاهر متفاوتی برای استفاده از این پلتفرم ارائه شده‌است، با این حال می‌توان ساختار کلی این مکانیزم را متشکل از شش عامل حرکتی با طول متغیر دانست که از شش نقطه بر روی بستری ثابت به سه نقطه از بستری متحرک متصل هستند [۱]. شکل ۱ ساختار مورد نظر را نمایش می‌دهد. بستر پایینی عموماً تحت عنوان پلتفرم ثابت و بستر متحرک بالا با نام پلتفرم متحرک شناسایی می‌شوند. همان‌طور که ذکر گردید، هدف اولیه از ساخت چنین بستری برای تولید حرکت دلخواه بوده است. چنانچه هدف از ساخت مکانیزم فوق ایجاد حرکت باشد، با مسئله معکوس حرکتی<sup>۲</sup> روبرو خواهیم بود. با

1 Stewart

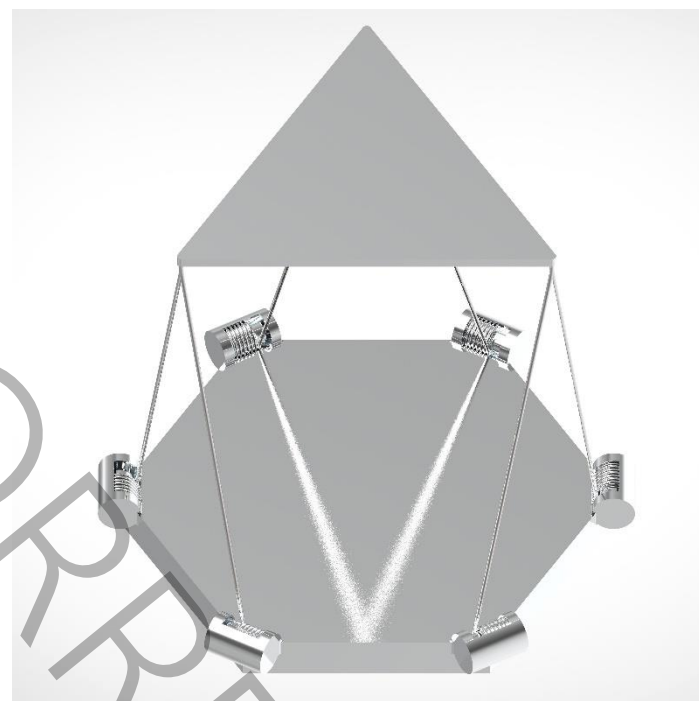
2 Inverse kinematic

\* نویسنده عهدهدار مکاتبات: moaven@um.ac.ir

3 Forward kinematic

حقوق مؤلفین به نویسنده‌گان و حقوق ناشر به انتشارات دانشگاه امیرکبیر داده شده است. این مقاله تحت لیسانس آفرینندگی مردمی (Creative Commons License) در دسترس شما قرار گرفته است. برای جزئیات این لیسانس، از آدرس <https://www.creativecommons.org/licenses/by-nc/4.0/legalcode> دیدن فرمائید.





شکل ۱. شماتیک کلی پیکربندی سنجهای استوارت مورد مطالعه

**Fig. 1. A general schematic of the Stewart platform configuration under investigation.**

از حالت‌های پرکاربرد این مکانیزم، اتصال پایه‌ها به نحوی است که شش نقطه از پلتفرم ثابت به شش نقطه از پلتفرم متحرک متصل می‌شوند. در این حالت صفحه‌های بالایی و زیرین هر دو تشکیل شش ضلعی می‌دهد که می‌توانند به صورت متقاضن و یا نامتقاضان در نظر گرفته شوند [۱۴]. از طرفی مکانیزم‌هایی شبیه به پلتفرم استوارت اولیه که صفحه بالایی آن‌ها تشکیل یک مثلث می‌دهد، کاربردهای مربوط به خود را دارند [۷، ۱۵-۱۷].

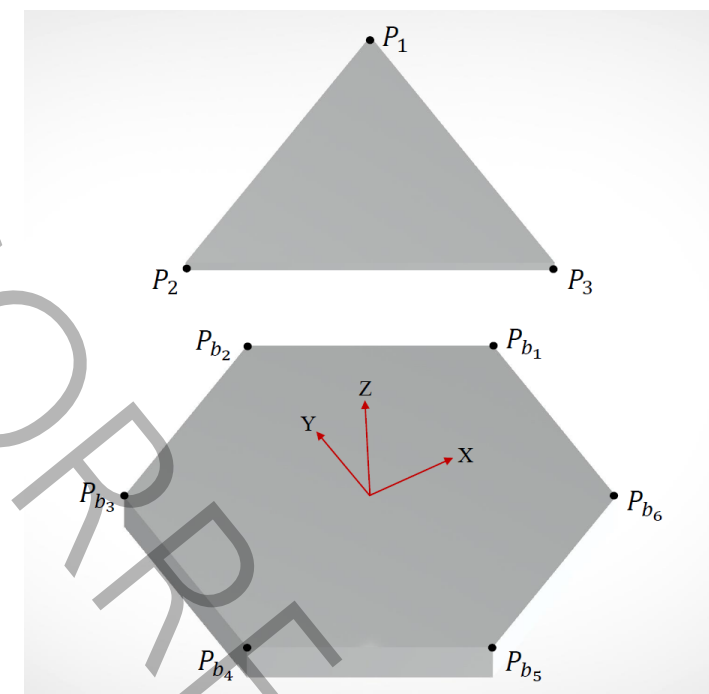
مهم‌ترین مشکلی که در حین محاسبات و کنترل پلتفرم استوارت روی می‌دهد، تکینگی<sup>۳</sup> است؛ تکینگی به موقعیت‌هایی نسبت داده می‌شود که معادله‌ها واگرا شوند و حل معادله‌ها عالمًا مقدور نبوده و یا پاسخی یکتا برای مسئله در دسترس نباشد. این نقاط معمولاً به سه دلیل معماری، پیکربندی و فرمول‌بندی ایجاد می‌شوند [۹]. این موضوع می‌تواند تأثیر بخصوصی بر روی روند کنترل این مکانیزم داشته باشد؛ از این رو در بسیاری از پژوهش‌ها به بررسی نقاط تکینه‌ی موجود پرداخته شده [۱۸-۲۰] که سعی بر پیش‌بینی و کاهش تعداد آنها دارند [۲۱].

[۶] و دلیل اولیه طراحی این مکانیزم یعنی شبیه‌ساز پرواز [۷] تنها بخشی از کاربردهای پیکربندی استوارت هستند. همچنین در کنار کاربردهای فعل<sup>۱</sup> این مکانیزم که شامل سنسور و عملگر می‌شود، می‌توان به کاربردهای غیرفعال<sup>۲</sup> آن نیز همانند عایق ارتعاشی که قابلیت جذب ارتعاشات با شش درجه آزادی را دارا می‌باشد، اشاره نمود [۸].

با توجه به کاربرد، این مکانیزم دارای انعطاف‌پذیری در نحوه اتصال پایه‌ها به پلتفرم‌ها است که تأثیر انواع پیکربندی‌ها و اتصال پایه‌ها مورد مطالعه برخی از پژوهش‌ها قرار گرفته است [۹، ۱۰]. پژوهش‌های پیشین نشان داده است که پایه‌های این پلتفرم می‌توانند به صورت ۴۰ مدل مختلف و ممکن در کنار یکدیگر قرار گیرند [۱۱]. این در حالی است که حتی نوع اتصال‌های به کار رفته نیز می‌تواند در روند حل معادله‌ها تأثیرگذار باشند [۱۲]. لازم به ذکر است که نحوه اتصال و تأثیرهای آن فقط به پیکربندی پایه‌ها خلاصه نمی‌شود بلکه با در نظر گرفتن حالت‌هایی خاص در نحوه اتصال سنسورها روش‌های حل می‌توانند ساده‌تر شوند [۱۳]. یکی

1 Active

2 Passive



شکل ۲. نمای کلی، مختصات و نامگذاری در پیکربندی سنجهای پلتفرم استوارت

Fig. 2. Overall view, coordinates, and nomenclature in the Stewart platform.

هاستی<sup>۳</sup> در پژوهش خود به ارائه و بررسی یک الگوریتم برای حل معادله‌های سینماتیکی پرداخته است که در نهایت به معادله‌ی تک‌متغیره‌ی چندجمله‌ای درجه‌ی ۴۰ منتهی می‌شود [۱۰]. روش فرمول‌بندی بسته<sup>۴</sup> نیوتن - اویلر<sup>۵</sup> یکی دیگر از روش‌های رایج برای تحلیل سینماتیک این مکانیزم است [۱۲] که در نهایت می‌توان از روش حل عددی تکراری نیوتن - رافسون<sup>۶</sup> برای حل معادله‌های سینماتیکی [۱۴، ۲۵، ۲۶]، روش نیوتن-رافسون [۲۷] و نسخه تغییر یافته‌ی آن و یا ترکیب آن با روش‌های دیگر [۲۰، ۲۸] کاربرد ویژه‌ای در حل این معادله‌ها دارد. همچنین در پژوهش‌های اخیر از زنجیره‌ی دناویت-هارتبرگ<sup>۷</sup> برخلاف کاربرد اصلی آن برای مکانیزم‌های

به هدف دوری از نقاط تکینه و کاهش تعداد آن‌ها، علاوه بر محدود کردن فضای کاری، می‌توان از تبدیل مختصات به یک دیگر نیز بهره برد. مختصات همچون کواترنیون‌ها [۱۸، ۲۱، ۲۲]، فضای مشترک<sup>۸</sup> [۱۹] و یا فضای ۷ بعدی شبیه‌بیضی<sup>۹</sup> [۱۰] قابل استفاده هستند که رایج‌ترین آن‌ها کواترنیون‌ها هستند. همچنین پیکربندی‌های جایگزین که شامل درجه‌های آزادی بالاتری هستند و برخی از آن‌ها می‌توانند موقعیت اتصال‌های خود را در انتهای پایه‌ها تغییر دهند، برای پرهیز از نقاط تکینه پیشنهاد شده‌اند. این مکانیزم‌ها علاوه بر این، قابلیت تعیین سفتی مورد نیاز سیستم با توجه به شرایط را دارا می‌باشند [۲۳، ۲۴].

در پژوهش‌های پیشین به بررسی و ارائه روش‌های عددی، شبکه‌های عصبی، تحلیلی، استفاده از حسگرها، بهینه‌سازی روش‌های پیشین و ترکیبی از روش‌ها برای حل معادله‌های سینماتیک مستقیم پرداخته شده است.

1 Joint space coordinate

2 Seven - dimensional quasi - elliptic space

3 Hustý

4 Closed - chain

5 Newton - Euler

6 Newton - Raphson

7 Denavit - Hartenberg

در اغلب مطالعه‌های گذشته، تمایل به استفاده از ریاضیات برداری برای گسترش معادله‌های حاکم بر قیود این سیستم چه در حالت سنجه‌ای و چه در حالت محرک بوده است. ولی دیدگاه مدنظر در مقاله حاضر، مبتنی بر استفاده از معادله‌های اسکالاری که حاکم بر قید فاصله میان نقاط اصلی پلتفرم است، می‌باشد. در عمل با توجه به هندسه فضایی مسئله، در روش حاضر پیدا کردن نقاط تقاطع نه سطح کروی در فضای است که به مرکزیت نقاط اصلی پلتفرم قابل تجسم هستند. معادله‌های غیرخطی حاکم بر این قیود هندسی متشکل از نه معادله درجه دوم خواهد بود که در صورت تحلیل آن، مختصات فضایی سه نقطه اصلی واقع بر پلتفرم متحرک مشخص خواهد شد. معادله‌های مذکور به دلیل فرم مرتبه دومی که دارند نسبت به روش‌های پیشنهادی پیشین که به صورت معادله‌هایی با درجات بالاتر گسترش یافته بودند رفتار غیر خطی کمتری از خود نشان داده و همچنین رفتار نرم تری خواهد داشت. معادله‌های یاد شده با توجه به نمادگذاری نشان داده شده در شکل ۲ و با فرض صلب بودن پلتفرم‌های بالایی و پایینی، به صورت زیر قابل بیان هستند:

$$(x_{P_1} - x_{P_{b_1}})^2 + (y_{P_1} - y_{P_{b_1}})^2 + (z_{P_1} - z_{P_{b_1}})^2 = L_1^2 \quad (1)$$

$$(x_{P_1} - x_{P_{b_2}})^2 + (y_{P_1} - y_{P_{b_2}})^2 + (z_{P_1} - z_{P_{b_2}})^2 = L_2^2 \quad (2)$$

$$(x_{P_2} - x_{P_{b_3}})^2 + (y_{P_2} - y_{P_{b_3}})^2 + (z_{P_2} - z_{P_{b_3}})^2 = L_3^2 \quad (3)$$

$$(x_{P_2} - x_{P_{b_4}})^2 + (y_{P_2} - y_{P_{b_4}})^2 + (z_{P_2} - z_{P_{b_4}})^2 = L_4^2 \quad (4)$$

$$(x_{P_3} - x_{P_{b_5}})^2 + (y_{P_3} - y_{P_{b_5}})^2 + (z_{P_3} - z_{P_{b_5}})^2 = L_5^2 \quad (5)$$

$$(x_{P_3} - x_{P_{b_6}})^2 + (y_{P_3} - y_{P_{b_6}})^2 + (z_{P_3} - z_{P_{b_6}})^2 = L_6^2 \quad (6)$$

سری، برای بهبود روش‌های تکراری بهره برده شده است [۳۰، ۲۹، ۱۷]. در کنار روش‌های رایج، یک سری از روش‌ها هم پیشنهاد شده‌اند که بر اساس جبر هندسی تطبیقی گسترش یافته‌اند [۳۱]. برخی نیز به هدف بهبود روند حل، روی حالت‌های خاصی از پیکربندی گسترش یافته‌اند و با یک سری از محدودیت‌ها مواجه هستند [۱۵].

همان‌طور که اشاره شد، بسیاری از روش‌های پیشنهاد شده به دلیل محدودیت مختصات دکارتی و زوایای اوبلر، با تکیه بر واحد کواترنیون و یا مختصات پیچیده دیگری که برای جلوگیری از ایجاد نقاط تکینه در محاسبه‌های دشوارتر کاربرد مؤثری دارند، راه حل پیشنهادی خود را ارائه کرده‌اند.

در دیدگاه ارائه شده در این پژوهش، مدل‌سازی ریاضی پیکربندی به نحوی انجام شده است که با استفاده از کمترین تعداد معادله‌ها و بدون ساده‌سازی بتوان به معادله‌های سینماتیکی پیکربندی سنجه‌ای استوارت دست یافت. روش پیشنهادی مورد مطالعه در این مقاله با اتکا بر معادله‌های نسبتاً ساده جبری و هموار حاکم بر قیود سامانه بنا نهاده شده است. با توجه به این امر، محدودیت کمتر در حرکت پلتفرم متحرک که باعث ایجاد نایابی‌داری در روند محاسبه می‌شود، عدم وابستگی به وجود ناهمواری در پلتفرم ثابت و همچنین تقریب با دقت بالا با تعداد تکرارهای موردنیاز کمتر، از ویژگی‌های مهم روش پیشنهادی در مقایسه با روش‌های پیشین خواهد بود.

## ۲- معادله‌های حاکم بر پیکربندی سنجه‌ای پلتفرم استوارت

در این بخش، پیکربندی مناسب برای بهره‌برداری از پلتفرم استوارت به منظور کاربرد سنجه‌ای مورد بررسی قرار گرفته و معادله‌های ریاضی حاکم بر آن استخراج می‌شود. در شکل ۲، شما بی از یک پیکربندی سنجه‌ای استوارت، که کاربرد بیشتری دارد، ارائه شده است. در ساختار سنجه‌ای پلتفرم استوارت، به جای استفاده از عناصر محرک پلتفرم (همانند سیلندرهای هیدرولیک و یا موتورهای خطی) از سنسورهای سنجش طولی که اغلب به صورت قرقه‌ای ساخته می‌شوند، استفاده می‌شود. در این طرح با در نظر گرفتن تغییر طول نسبی این سنسورها، طول نهایی هر پایه رابط بین پلتفرم ثابت و متحرک به دست آمده و به عنوان شش متغیر ورودی مسئله در نظر گرفته خواهد شد. مختصات نقاط اصلی مستقر بر روی پلتفرم ثابت نیز برای تکمیل کردن روابط به عنوان پارامترهای ورودی پیکربندی در نظر گرفته خواهد شد.

با توجه به اینکه مسئله‌ی مورد بحث پژوهش حاضر، مقید به قیود اضافه‌ای نبوده و تعداد مجھول‌ها برابر با تعداد معادله‌های حاکم بر مسئله است، می‌توان بردار نموی تصحیح کننده را به صورت معادله‌ی (۱۱) محاسبه کرد:

$$[K_T] \{ \delta x_n \} = f(x_n) \quad (11)$$

با داشتن بردار تصحیح کننده‌ی نموی، می‌توان بردار گام بعدی مجھول‌ها را محاسبه کرد:

$$x_{n+1} = x_n + \delta x_n \quad (12)$$

### ۳-۱- بحث در مورد همگرایی معادله‌ها

با در دست داشتن پاسخ همگرا شده معادله‌ها در ایستگاه قبلی، می‌توان برای حل مسئله از آن به عنوان شروع حل در ایستگاه بعدی استفاده شود. شروع این روند از حالت استراحت مکانیزم خواهد بود که جواب دقیق مسئله در آن موقعیت با استفاده از سینماتیک معکوس<sup>۱</sup> مشخص است و با بردار  $\{X_0\}$  نشان داده می‌شود. بنابراین:

$$(x_{P_1} - x_{P_2})^2 + (y_{P_1} - y_{P_2})^2 + (z_{P_1} - z_{P_2})^2 = \overline{(P_1 P_2)} \quad (7)$$

$$(x_{P_1} - x_{P_3})^2 + (y_{P_1} - y_{P_3})^2 + (z_{P_1} - z_{P_3})^2 = \overline{(P_1 P_3)} \quad (8)$$

$$(x_{P_2} - x_{P_3})^2 + (y_{P_2} - y_{P_3})^2 + (z_{P_2} - z_{P_3})^2 = \overline{(P_2 P_3)} \quad (9)$$

در ادامه با داشتن مکان این سه نقطه از فضا که توسط نه مجھول قابل بیان هستند، می‌توان وضعیت هر نقطه‌ای که بر روی پلتفرم متحرک قرار دارد را توسط سه معادله‌ی قیدی دیگر به دست آورد. به عبارتی دیگر با داشتن مکان سه نقطه در فضا اصولاً معادله یک صفحه به صورت کامل در دستگاه مرجع قابل بیان خواهد بود. در ادامه می‌توان زوایای اویلر صفحه‌ی یادشده را با استفاده از روش‌های مقتضی با دقت بالایی تخمین زد.

### ۳- تحلیل معادله‌های غیرخطی حاکم بر هندسه

با توجه به ساختار غیرخطی درجه دوم معادله‌های حاکم بر مسئله، به نظر می‌رسد در حالت کلی، ارائه یک روش تحلیلی فرم بسته که از دقت و عمومیت کافی در کاربردهای عملی برخوردار باشد، مقدور نخواهد بود. در این مطالعه به منظور حل معادله‌های (۱-۹)، از روش حل تکراری نیوتن-رافسون مبتنی بر توسعه ماتریس ضرایب ژاکوبی بهره برده شده است. ماتریس ژاکوبی معادله‌های (۱-۹) که تحت عنوان ماتریس مماسی نیز شناخته می‌شود به صورت معادله (۱۰) قابل توسعه است:

$$K_T = \begin{bmatrix} 2(x_{P_1} - x_{P_1}) & 0 & 0 & 2(y_{P_1} - y_{P_1}) & 0 & 0 & 2(z_{P_1} - z_{P_1}) & 0 & 0 \\ 2(x_{P_1} - x_{P_2}) & 0 & 0 & 2(y_{P_1} - y_{P_2}) & 0 & 0 & 2(z_{P_1} - z_{P_2}) & 0 & 0 \\ 0 & 2(x_{P_2} - x_{P_3}) & 0 & 0 & 2(y_{P_2} - y_{P_3}) & 0 & 0 & 2(z_{P_2} - z_{P_3}) & 0 \\ 0 & 2(x_{P_2} - x_{P_4}) & 0 & 0 & 2(y_{P_2} - y_{P_4}) & 0 & 0 & 2(z_{P_2} - z_{P_4}) & 0 \\ 0 & 0 & 2(x_{P_3} - x_{P_5}) & 0 & 0 & 2(y_{P_3} - y_{P_5}) & 0 & 0 & 2(z_{P_3} - z_{P_5}) \\ 0 & 0 & 2(x_{P_3} - x_{P_6}) & 0 & 0 & 2(y_{P_3} - y_{P_6}) & 0 & 0 & 2(z_{P_3} - z_{P_6}) \\ 2(x_{P_1} - x_{P_2}) & -2(x_{P_1} - x_{P_2}) & 0 & 2(y_{P_1} - y_{P_2}) & -2(y_{P_1} - y_{P_2}) & 0 & 2(z_{P_1} - z_{P_2}) & -2(z_{P_1} - z_{P_2}) & 0 \\ 2(x_{P_1} - x_{P_3}) & 0 & -2(x_{P_1} - x_{P_3}) & 2(y_{P_1} - y_{P_3}) & 0 & -2(y_{P_1} - y_{P_3}) & 2(z_{P_1} - z_{P_3}) & 0 & -2(z_{P_1} - z_{P_3}) \\ 0 & 2(x_{P_2} - x_{P_3}) & -2(x_{P_2} - x_{P_3}) & 0 & 2(y_{P_2} - y_{P_3}) & -2(y_{P_2} - y_{P_3}) & 0 & 2(z_{P_2} - z_{P_3}) & -2(z_{P_2} - z_{P_3}) \end{bmatrix} \quad (10)$$

شش معادله بعدی به صورت اغتشاشی نسبت به دستگاه قبلی به روزرسانی می‌شوند. با توجه به ماهیت معادله‌های مرتبه دوم و همچنین نقش طول سنسورها در این فرم از نوشتار معادله‌ها، تغییر در طول سنجه‌های طولی تغییری در فرم کلی ماتریس ژاکوبی ایجاد نمی‌کند. از این رو می‌توان دسته معادلات جدید را با صرف نظر کردن از مرتبه‌های بالاتر پارامترهای اغتشاشی به صورت معادله (۱۵) نشان داد:

$$\begin{aligned} f_i^1 &= f_i^0 + 2\varepsilon_i L_i, \quad i=1-6 \\ f_i^1 &= f_i^0, \quad i=7-9 \end{aligned} \quad (15)$$

در ادامه معادلات مربوط به گام اول حل روش نیوتون-رافسون برای دسته معادله‌های جدید در صورتی که پاسخ مرحله قبلی به عنوان نقطه حدس اولیه  $\{x_0\}$  در نظر گرفته شود، به صورت معادله (۱۶) قابل نگارش هستند:

$$\begin{aligned} \{x_1\} &= \{x_0\} - K_T^{-1}(\{x_0\}) \\ \{f^0(\{x_0\}) + 2\tilde{\varepsilon}[L_1 \dots L_6 \ 0 \ 0 \ 0]^T\} \end{aligned} \quad (16)$$

که در آن:

$$\tilde{\varepsilon} = \tilde{\varepsilon}_{ij} = \begin{cases} \varepsilon_i & i=j, \quad i=1-6 \\ 0 & i \neq j, \quad i=7-9 \end{cases} \quad (17)$$

یک ماتریس  $9 \times 9$  شامل پارامترهای اغتشاشی تغییردهنده دستگاه معادلات حاکم، در هر ایستگاه محاسباتی است. با توجه به اینکه مقدار  $f^0(\{x_0\})$  در گام قبلی محاسبه شده و یا از سینماتیک معکوس در ایستگاه استراحت سیستم به دقت محاسبه شده است، علاوه بر این با صفر پنداشته می‌شود و در نهایت می‌توان رابطه فوق را به صورت معادله (۱۸) بیان کرد:

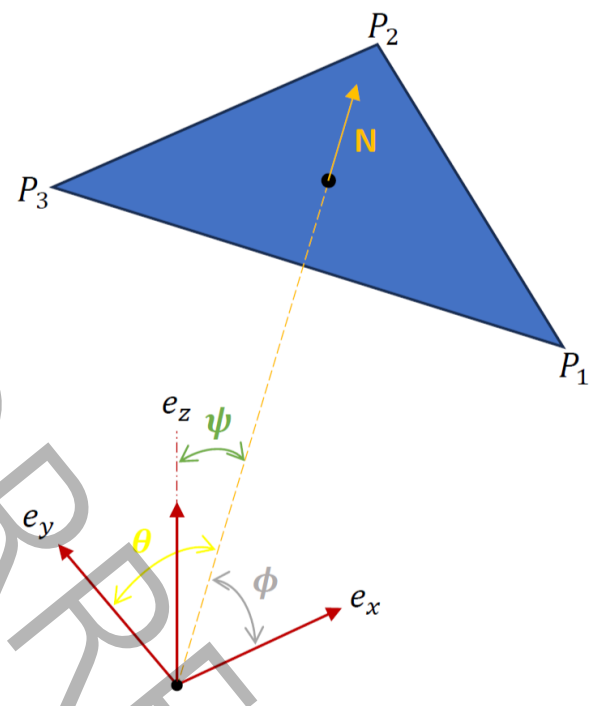
$$\{x_1\} = \{x_0\} - K_T^{-1}(\{x_0\}) \{2\tilde{\varepsilon}[L_1 \dots L_6 \ 0 \ 0 \ 0]\} \quad (18)$$

$$\begin{aligned} f_1^0 &= (x_{P_1} - x_{P_{b1}})^2 + (y_{P_1} - y_{P_{b1}})^2 + (z_{P_1} - z_{P_{b1}})^2 = L_1^2 \\ f_2^0 &= (x_{P_2} - x_{P_{b2}})^2 + (y_{P_2} - y_{P_{b2}})^2 + (z_{P_2} - z_{P_{b2}})^2 = L_2^2 \\ f_3^0 &= (x_{P_3} - x_{P_{b3}})^2 + (y_{P_3} - y_{P_{b3}})^2 + (z_{P_3} - z_{P_{b3}})^2 = L_3^2 \\ f_4^0 &= (x_{P_4} - x_{P_{b4}})^2 + (y_{P_4} - y_{P_{b4}})^2 + (z_{P_4} - z_{P_{b4}})^2 = L_4^2 \\ f_5^0 &= (x_{P_5} - x_{P_{b5}})^2 + (y_{P_5} - y_{P_{b5}})^2 + (z_{P_5} - z_{P_{b5}})^2 = L_5^2 \\ f_6^0 &= (x_{P_6} - x_{P_{b6}})^2 + (y_{P_6} - y_{P_{b6}})^2 + (z_{P_6} - z_{P_{b6}})^2 = L_6^2 \end{aligned} \quad (13)$$

که در آن بالاتوپس نشان از ایستگاه حل ابتدایی مسئله است که در پاسخ آن همگرایی حاصل شده و یا پاسخ دقیق آن مشخص است. حال با فرض اینکه دستگاه جدید در همسایگی ایستگاه قبلی صرفا در مقدادیر  $L_1$  تا  $L_6$  تفاوت دارد، می‌توان با فرض تغییرات به اندازه‌ی کافی اندک که به صورت زیر قابل نگارش هستند، دستگاه جدید را به صورت خلاصه ذیل بازنویسی کرد:

$$\begin{aligned} f_1^1 &= (x_{P_1} - x_{P_{b1}})^2 + (y_{P_1} - y_{P_{b1}})^2 \\ &\quad + (z_{P_1} - z_{P_{b1}})^2 = (L_1 + \varepsilon_1)^2 \\ f_2^1 &= (x_{P_2} - x_{P_{b2}})^2 + (y_{P_2} - y_{P_{b2}})^2 \\ &\quad + (z_{P_2} - z_{P_{b2}})^2 = (L_2 + \varepsilon_2)^2 \\ f_3^1 &= (x_{P_3} - x_{P_{b3}})^2 + (y_{P_3} - y_{P_{b3}})^2 \\ &\quad + (z_{P_3} - z_{P_{b3}})^2 = (L_3 + \varepsilon_3)^2 \\ f_4^1 &= (x_{P_4} - x_{P_{b4}})^2 + (y_{P_4} - y_{P_{b4}})^2 \\ &\quad + (z_{P_4} - z_{P_{b4}})^2 = (L_4 + \varepsilon_4)^2 \\ f_5^1 &= (x_{P_5} - x_{P_{b5}})^2 + (y_{P_5} - y_{P_{b5}})^2 \\ &\quad + (z_{P_5} - z_{P_{b5}})^2 = (L_5 + \varepsilon_5)^2 \\ f_6^1 &= (x_{P_6} - x_{P_{b6}})^2 + (y_{P_6} - y_{P_{b6}})^2 \\ &\quad + (z_{P_6} - z_{P_{b6}})^2 = (L_6 + \varepsilon_6)^2 \end{aligned} \quad (14)$$

که در آن  $\{\varepsilon_1, \varepsilon_2, \dots, \varepsilon_6\}$  مقدادیر اندک تغییر اغتشاشی در طول پایه‌های سنسور هستند و شرط  $L_i = \varepsilon_i$  در آنها برقرار است. بالاتوپس ۱ نیز به ایستگاه فعلی دستگاه معادله‌ها اشاره دارد. دقت شود که سه معادله پایانی از این دسته معادله‌ها در هر ایستگاه محاسباتی ثابت باقی مانده و



شکل ۳. وضعیت پلتفرم متحرک در فضا و تعریف زوایای اویلر

Fig. 3. The position of the moving platform in space and the definition of Euler angles.

### ۳-۲- بردار اویلر برای شروع فرایند تکراری

یکی از مهمترین نکته‌ها در دستیابی به همگرایی سریع و مناسب در روش تکراری نیوتون-رافسون، پیش‌بینی هر چه بهتر نقطه اویلر شروع محاسبات است. در واقع با حدس نزدیک‌تر به پاسخ نهایی، می‌توان از تعداد تکرارها و گام‌های مورد نیاز برای رسیدن به پاسخ نهایی کاست. با توجه به انتخاب‌هایی متنوعی که در این پژوهش به‌منظور انتخاب حدس اویلر انجام شده، به این نتیجه رسیده شد که بهترین انتخاب همان وضعیت حالت استراحت<sup>۱</sup> یا پایه سنجه پیش از شروع حرکت و عملیات اندازه‌گیری است. بدین‌منظور برای انجام سایر مطالعه‌های پیش‌رو، حدس اویلر  $X_0$  برابر با بردار نمایشگر وضعیت ابتدایی سیستم در نظر گرفته شده است. به‌منظور انجام تحلیل‌های عددی الگوریتم پیشنهادی از برنامه‌نویسی در محیط نرم‌افزار متلب<sup>۲</sup> استفاده شده است.

با میل دادن درایه‌های ماتریس  $\tilde{a}$  به سمت صفر، پاسخ ایستگاه بعدی محاسباتی در همسایگی پاسخ قبلی همگرا شده قرار داشته و در نتیجه رفتار همگرایی معادلات فوق صرفا به رفتار ماتریس ژاکوبی معادله‌ها بستگی دارد. درایه‌های ژاکوبی نیز توابعی خطی و ساده از پاسخ‌های همگرا شده در موقعیت قبلی هستند، بنابراین می‌توان استنتاج کرد که تغییرات در ماتریس ژاکوبی نیز به صورت هموار و مناسب با تکرارهای بعدی هستند. در صورت صفر نشدن دترمینان ماتریس ژاکوبی و قرار داشتن ایستگاه‌های محاسباتی در همسایگی‌های به اندازه کافی نزدیک، رفتار همگرایی ایستگاه‌های بعدی مشابه همگرایی محقق شده در ایستگاه قبلی خواهد بود. در نتیجه، رفتار همگرایی در وضعیت شروع پلتفرم و همچنین محاسبه دترمینان آن در این ایستگاه می‌تواند در پیش‌بینی رفتار همگرایی در ایستگاه‌های بعدی محاسباتی نافذ بوده و در صورت برقراری شرط نامساوی بودن با صفر دترمینان، همگرایی ایستگاه‌های بعدی قابل تحقق خواهد بود.

1 Rest position

2 MATLAB

## ۳-۳- محاسبه زوایای اویلر پلتفرم

## ۴- مطالعه در نرم افزار طراحی مهندسی کتیبا و ارزیابی روش محاسباتی

در این بخش از پژوهش برای ارزیابی میزان توانمندی روش محاسباتی پیشنهاد شده، مقایسه با نتایج نرم افزار طراحی مهندسی استفاده شده است و از ابزارهای موجود برای اندازه گیری و مختصات نقاط و یا طول های پایه ها بهره گرفته شده است. در این مطالعه هدف اصلی پیدا کردن وضعیت دو پلتفرم متحرک و ثابت نسبت به یک دیگر، یا به عبارتی بررسی وضعیت دو جسم در فضای نسبت به هم خواهد بود. در این مرحله، دیدگاه سینماتیک معکوس مورد استفاده قرار گرفت. بدآن معنا که ابتدا پلتفرم متحرک را در فضای در موقعیت مشخصی که مختصات سه گوشه آن معلوم است قرار داده و سپس با استفاده از ابزارهای اندازه گیری در محیط نرم افزار، طول مابین مختصات یاد شده با پایه های پلتفرم ثابت مورد سنجش قرار گرفت. در ادامه شش فاصله یاد شده به عنوان ورودی به الگوریتم پیشنهادی وارد شده و مختصات های سه گوشه محاسبه می شوند. با مقایسه بین مختصات محاسبه شده و مختصاتی که در ابتدا در محیط نرم افزار در نظر گرفته شده بود، می توان دقت شیوه محاسباتی را بررسی نمود. در این بخش فرض بر این است که اندازه های طولی پایه ها توسط سنجه های با دقت کافی فراهم شده است و در این مطالعه کیفیت داده های ورودی مد نظر نبوده است. همچنین با توجه به ماهیت سینماتیکی مسئله، اصطکاک بین مفاصل که ماهیت سینتیکی دارند نیز در معادلات الگوریتم وارد نمی شوند. بدینهی است که در کاربردهای واقعی مقداری لقی در سیستم وجود خواهد داشت که بررسی تاثیر عدم قطعیت در داده های ورودی خود نیازمند پژوهشی مجزا در فضای آماری و احتمالاتی دارد و در مطالعه حاضر مدنظر نبوده است.

## ۴-۱- بررسی و تحلیل مکانیزم در حالت کاملاً متقابران

به منظور سنجش میزان دقت محاسبه روش حاضر، می توان به سادگی وضعیت پلتفرم متحرک را در یک و یا چند موقعیت دلخواه و مشخص قرار داده و سپس اقدام به اندازه گیری مختصات سه نقطه که محل تلاقی زوچ های سنسور طولی هستند، نمود. در جدول ۱، مختصات فضایی نقاط اصلی اندازه گیری شده در حالت استراحت پلتفرم نسبت به دستگاه مرجع به آورده شده است. همچنین برای مقایسه، نتایج محاسبه عددی با توجه به طول سنجه های طولی نصب شده در سنجه ذکر شده در جدول ۲، قابل مشاهده است. نتایج در چهار وضعیت متفاوت بر روی یک مسیر و در امتداد یکدیگر همانند شکل ۴ در نظر گرفته شده اند. برای صحنتسنجی اطلاعات

در صورت تحلیل معادله های غیرخطی اشاره شده، مختصات دکارتی سه نقطه اصلی از پلتفرم متحرک به دست خواهد آمد. با داشتن این سه نقطه در فضای یک صفحه مسطح کاملاً قابل تبیین بوده و می توان انحراف زوایای آن از وضعیت مرجع را محاسبه نمود. در شکل ۳، نمایشی از تعریف مدنظر زوایای اویلر در پژوهش حاضر و ارتباط دستگاه های مرجع و متحرک ارائه شده است. به منظور محاسبه این زوایا، با توجه به در دست داشتن سه نقطه مذکور، ابتدا دو بردار حاصل از اتصال سه نقطه یعنی  $V_1$  و  $V_2$  را در یکی از نقاط محاسبه کرده و سپس با محاسبه ضرب خارجی بردارها، بردار نرمال  $N$  صفحه به دست می آید.

$$V_1 = P_2 - P_1 \quad (19)$$

$$V_2 = P_3 - P_1 \quad (20)$$

$$N = V_1 \times V_2 \quad (21)$$

با محاسبه بردار یکه و ضرب داخلی آن با هر یک از بردارهای  $X$ ،  $Y$  و  $Z$ ، مقدار حاصل شده برابر با کسینوس زوایای اویلر خواهد بود:

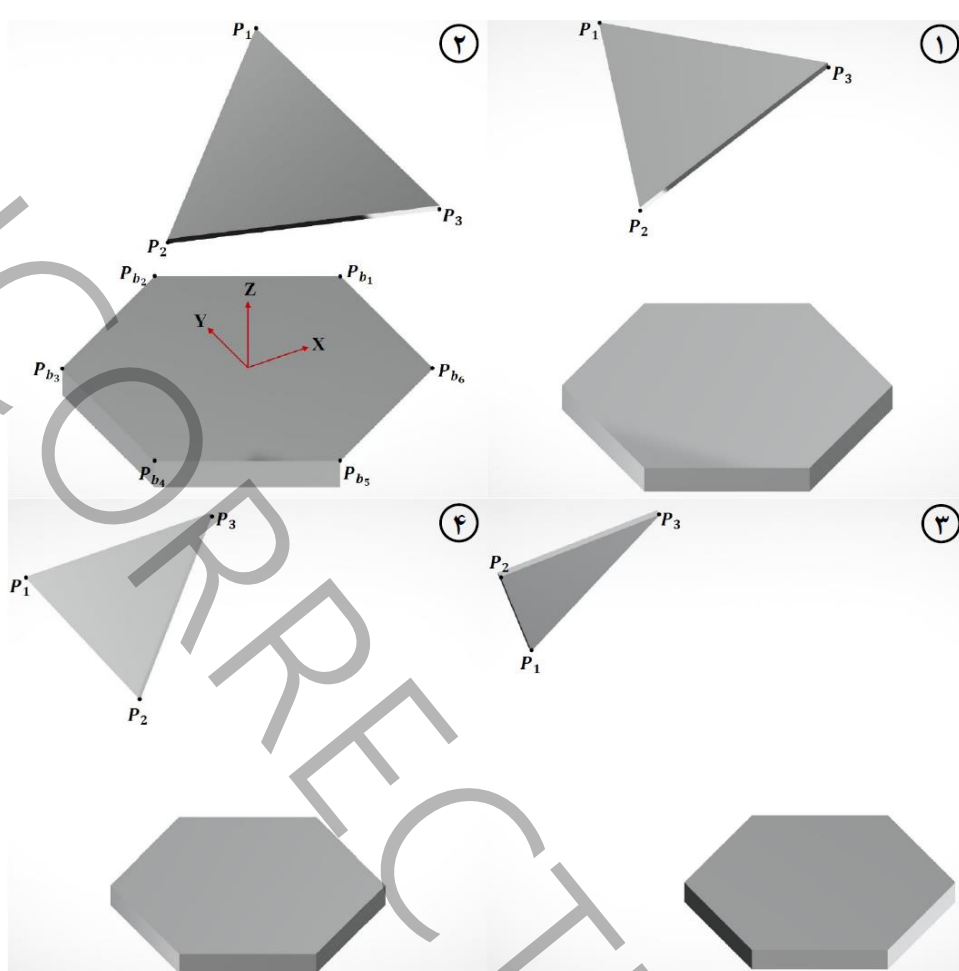
$$e = \frac{N}{|N|} \quad (22)$$

$$\phi = \cos^{-1}(e \cdot [1 \ 0 \ 0]) \quad (23)$$

$$\theta = \cos^{-1}(e \cdot [0 \ 1 \ 0]) \quad (24)$$

$$\psi = \cos^{-1}(e \cdot [0 \ 0 \ 1]) \quad (25)$$

که در آن  $e$  بردار نرمال یکه بوده و  $\phi$ ،  $\theta$  و  $\psi$  زوایای اویلر هستند.



شکل ۴. چهار موقعیت مفروض پیکربندی سنجهای بر روی یک مسیر

Fig. 4. Four assumed positions of the Stewart platform configuration along a trajectory.

می‌توان از این دیدگاه برای تحلیل تاریخچه‌های طولانی حاصل از تغییر موقعیت دو جسم نسبت به یکدیگر به صورت مؤثری بهره برد.

۴-۲- تأثیر ایجاد عدمتقارن در پایه‌های متصل به زمین  
نامتقارنی‌ها در سیستم می‌توانند به دو دلیل اصلی حائز اهمیت باشند:  
۱- با توجه به شرایط در سامانه مورد سنجش که در آن ناهمواری‌هایی وجود دارد که ناچاراً آن را از حالت متقاضی خارج می‌کنند. ۲- همان طور که پیشتر نیز ذکر شد، گاهًا لازم است برای دوری از نقاط تکینه موقعیت اتصالات را در حالت‌های دیگری قرار داد. لذا در این بخش با در نظر گرفتن نامتقارن در پایه‌ها به بررسی تأثیر آن در روند حل و نتایج حاصل می‌پردازیم. بدین منظور با توجه به اینکه ارتفاع اولیه تا صفحه بالایی ۱۰۰ واحد در نظر گرفته

محاسبه شده، می‌توان با استفاده از نرم‌افزار کتیا<sup>۱</sup> اطلاعات چند وضعیت مورد نظر احتمالی، که تحت عنوان داده‌های تجربی فرض شده‌اند را به دست آورد و با اعداد محاسبه شده تحلیل حاضر مقایسه کرد.

با توجه به نتایج در جدول‌های ۳-۶، با انحراف بیشتر از وضعیت حالت استراحت سنجه، میزان گام‌های مورد نیاز برای رسیدن به پاسخ نهایی در حالت کلی افزایش می‌یابد و میزان خطای پاسخ نهایی نسبت به حالت اندازه‌گیری شده‌ی تجربی تغییر محسوسی نخواهد داشت که در نهایت بیشترین خطای محاسبه شده در روند محاسبات برابر است با  $0.3\%$  که با توجه به این میزان خطای اندک در روش پیشنهادی، به نظر می‌رسد که

جدول ۱. مختصات موقعیت استراحت مکانیزم متقارن

Table 1. Coordinates of the rest position of the symmetric mechanism.

نقطه	مختصات
$P_{b_1}$	$(100 \quad 57/735 \quad 0)$
$P_{b_2}$	$(0 \quad 115/47 \quad 0)$
$P_{b_3}$	$(-100 \quad 57/735 \quad 0)$
$P_{b_4}$	$(-100 \quad -57/735 \quad 0)$
$P_{b_5}$	$(0 \quad -115/47 \quad 0)$
$P_{b_6}$	$(000 \quad -57/735 \quad 0)$
$P_1$	$(50 \quad 86/603 \quad 100)$
$P_2$	$(-100 \quad 0 \quad 100)$
$P_3$	$(50 \quad -86/603 \quad 100)$

جدول ۲. طول سنجه ها در موقعیتهای مفروض در حالت متقارن

Table 2. Length of the sensors at assumed positions in the symmetric configuration.

سنجه	استراحت	۱	۲	۳	۴
$L_1$	$115/470054$	$173/512156$	$242/799833$	$316/374627$	$336/84928$
$L_2$	$115/470054$	$176/595578$	$196/103329$	$239/242095$	$238/048912$
$L_3$	$115/470054$	$131/557932$	$142/107456$	$167/551718$	$305/294489$
$L_4$	$115/470054$	$134/955826$	$181/087504$	$216/986093$	$385/813498$
$L_5$	$115/470054$	$169/552767$	$291/4747522$	$385/194528$	$441/158216$
$L_6$	$115/470054$	$112/042574$	$226/170661$	$342/7322313$	$405/943024$

جدول ۳. موقعیت‌های حاصل از نرم افزار طراحی مهندسی کتیا برای پلتفرم متحرک بر اساس طول سنجه‌ها

**Table 3.** Positions obtained from the CATIA engineering design software for the mobile platform based on the sensors lengths.

وضعیت	مختصات نقطه	نتایج قرائت شده از نرم افزار طراحی مهندسی
	$P_1$	(۶۹/۹۹۳۷۸۸ ۱۱۱/۸۸۳۷۹۴ ۱۶۲/۰۹۲۵۸۶)
۱	$P_2$	(-۵۵/۶۶۸۴۱۸ ۳/۹۲۱۳ ۱۱۱/۵۶۲۹۱۱)
	$P_3$	(۱۰۹/۲۵۷۲۷ -۴۸/۹۸۹۷۷۱ ۱۱۱/۳۱۶۴۹۴)
	$P_1$	(۲۰/۰۵۵۶۱ ۲۱۲/۲۳۱۳۴۸ ۱۶۹/۳۸۵۷۷۳)
۲	$P_2$	(-۳۸/۰۰۵۵۱۵ ۵۴/۵۵۱۶۱۲ ۱۲۷/۸۳۲۲۲۹)
	$P_3$	(۱۲۵/۴۸۳۷۷۷ ۷۵/۲۷۲۶۳۲ ۱۸۱/۱۴۲۷۸۳)
	$P_1$	(-۶۷/۸۳۸۲۴۴ ۲۵۳/۶۴۵۶۴۲ ۱۸۳/۱۴۵۴۶)
۳	$P_2$	(-۵۷/۱۴۵۶۰۳ ۸۲/۳۱۳۰۵۷ ۱۶۰/۱۰۳۰۹)
	$P_3$	(۵۹/۸۸۲۸۷ ۱۶۳/۹۶۲۹۶۴ ۲۵۸/۲۷۵۱۵۴)
	$P_1$	(-۱۰۵/۳۸۰۶۳۱ ۳۰۹/۳۳۰۴۱۹ ۸۹/۳۳۲۸۹۵)
۴	$P_2$	(-۱۷۵/۲۴۴۳۶۵۴ ۲۴۰/۹۶۰۰۱ ۲۲۲/۳۱۸۱۵)
	$P_3$	(-۴/۰۲۸۹۵ ۲۶۵/۳۲۰۹۳۷ ۲۲۲/۷۱۶۳۲۲)

جدول ۴. زوایای اوبل حاصل از نرم افزار طراحی مهندسی (درجه)

**Table 4.** Euler angles obtained from the CAD software (degree).

وضعیت	$\phi$	$\theta$	$\psi$
۱	۹۵/۸۴۷۵۳۶۲۸	۱۰۸/۷۸۱۰۴۰۹۹	۱۹/۷۳۶۰۸۲۵۰
۲	۱۰۶/۸۸۷۷۰۱۵۵	۹۸/۱۸۶۲۷۵۴۷	۱۸/۸۷۵۸۰۶۵۹
۳	۱۲۵/۰۹۸۷۲۰۰۰	۹۸/۲۹۰۷۰۹۴۱	۳۶/۳۵۵۳۹۳۰۵
۴	۹۶/۲۴۶۲۶۳۰۴	۲۳/۵۸۶۴۵۷۹۹	۶۷/۳۵۲۷۸۶۳۸

### جدول ۵. موقعیت‌های تئوری پلتفرم متحرک بر اساس طول سنجه‌ها

Table 5. Theoretical positions of the mobile platform based on the sensors lengths.

خطا (%)	تعداد گام	تخمین تا همگرایی	روش پیشنهادی حاضر	مختصات نقطه	وضعیت
$2/96883 \times 10^{-5}$			$(69/99380.878 \quad 111/88380.134 \quad 162/0.9257874)$	$P_1$	
$5/27886 \times 10^{-5}$	۱۰		$(-55/66843140 \quad 3/92130.207 \quad 111/56293.28)$	$P_2$	۱
$3/90729 \times 10^{-5}$			$(10.9/25731269 \quad -48/98978785 \quad 111/31649390)$	$P_3$	
$3/0.8159 \times 10^{-1}$			$(20/117413.7 \quad 212/33841299 \quad 169/3172.498)$	$P_1$	
$2/0.9313 \times 10^{-2}$	۱۴		$(-38/0.6071538 \quad 54/551637.02 \quad 127/85898589)$	$P_2$	۲
$9/31.029 \times 10^{-3}$			$(125/44338219 \quad 75/34271300 \quad 181/0.970.302)$	$P_3$	
$4/92996 \times 10^{-5}$			$(-67/838220.17 \quad 253/64571949 \quad 183/14526971)$	$P_1$	
$4/717736 \times 10^{-5}$	۱۳		$(-57/14565938 \quad 82/3130.9583 \quad 160/10.30.946.)$	$P_2$	۳
$6/48933 \times 10^{-5}$			$(59/88290.886 \quad 163/963.05170 \quad 258/2751.768)$	$P_3$	
$2/0.9475 \times 10^{-4}$			$(-10.5/38.065710 \quad 30.9/33.043670 \quad 89/3327.787)$	$P_1$	
$4/90.276 \times 10^{-5}$	۱۸		$(-175/2436730.9 \quad 240/96.120.49 \quad 232/318.3610.)$	$P_2$	۴
$7/0.300.2 \times 10^{-5}$			$(-4/0.2891670 \quad 265/321.0.8318 \quad 222/71616543)$	$P_3$	

### جدول ۶. زوایای اویلر حاصل از روش حاضر (درجه)

Table 6. Euler angles obtained from the present method (degree).

$\psi$	$\theta$	$\phi$	وضعیت
$19/736.7441$	$10.8/781.0.3522$	$95/84752828$	۱
$18/8382140.7$	$98/1458.0.367$	$10.6/8667970.5$	۲
$36/35036911$	$98/29.066744$	$125/0.987.0.844$	۳
$67/3528310.7$	$23/58641711$	$96/24627127$	۴

## جدول ۷. مختصات موقعیت استراحت مکانیزم نامتقارن

**Table 7. Coordinates of the rest position of the asymmetric mechanism.**

نقطه	مختصات
$P_{b_1}$	(۱۱۰ ۶۹/۲۸۲ ۱۰)
$P_{b_2}$	(۰ ۱۰۳/۹۲۳ ۰)
$P_{b_3}$	(-۸۰ ۶۹/۲۸۲ ۲۰)
$P_{b_4}$	(-۱۲۰ -۶۳/۵۰۹ ۰)
$P_{b_5}$	(۰ -۱۰۳/۹۲۳ ۳۰)
$P_{b_6}$	(۹۰ -۷۵/۰۵۶ ۰)
$P_1$	(۵۰ ۸۶/۶۰۳ ۱۰۰)
$P_2$	(-۱۰۰ ۰ ۱۰۰)
$P_3$	(۵۰ -۸۶/۶۰۳ ۱۰۰)

تابع، بازه تغییرات طول بکسان با موقعیتهای متفاوت ایجاد کرد. توابع متناوب اعمال شده در این بخش به صورت شکل ۵ در نظر گرفته شده اند که در آن  $t$  مولفه زمان در بازه  $[0, 4\pi]$  فرض شده است. لازم به ذکر است که در این بازه معادله ها در ۱۲۶ نقطه برای هر معادله در نظر گرفته شده است. در نهایت پس از اعمال توابع مذکور موقعیتهای فضایی نقاط  $P_1, P_2, P_3$  و مرکز مثلث تشکیل شده توسط آنها محاسبه شده و به صورت شکل ۶ قابل نمایش خواهند بود. همچنین میتوان این توابع را در حالتی که مکانیزم دارای عدمتقارن هستند نیز اعمال کرد که شکل ۷ نتایج مرتبط با این وضعیت را نمایش می دهد.

شده است، ارتفاع پایه ها به صورت یک در میان به اعداد ۱۰، ۲۰ و ۳۰ درصد ارتفاع اولیه تغییر یافته اند. همچنین ۱۰ الی ۳۰ درصد تغییر در مقادیر  $X$  و  $Y$  نیز به صورت تصادفی اعمال شده است که نهایتاً موقعیت های تغییر یافته به صورت جدول ۷ در می آید. شایان ذکر است که برای مقایسه نتایج با حالت متقارن، در این بخش نیز از ۴ وضعیت مختلف پلتفرم متحرک فرض شده در حالت متقارن استفاده شده است و تنها تفاوت ایجاد شده در موقعیت انتهای پایه های متصل به پلتفرم ثابت می باشد. در نهایت نتایج حاصل شده از حل معادله ها در جدول های ۸ و ۹ ارائه شده اند.

### ۵- مطالعه موردی

#### ۵-۱- اعمال توابع متناوب به عنوان ورودی طول سنجه ها

در این بخش به انجام محاسبات در حالت های مختلف متغیر با زمان پرداخته شده است. یکی از مناسبترین روش های برای شبیه سازی نسبی شرایط طبیعی، اعمال میزان جایجایی های پیوسته و تصادفی به متغیر های مسئله است که بدین منظور یکسری توابع زمانی پیوسته متفاوت به عنوان داده های ورودی در ازای هر یک از طولهای اندازه گیری شده توسط سنجه ها اعمال می شود که بهترین انتخاب می تواند توابع تناوبی باشد، زیرا به صورت هارمونیک تکرار شده و از این رو با اعمال دوره تناوبهای متفاوت برای هر

جدول ۸. طول سنجه ها در موقعیتهای مفروض در حالت نامتقارن

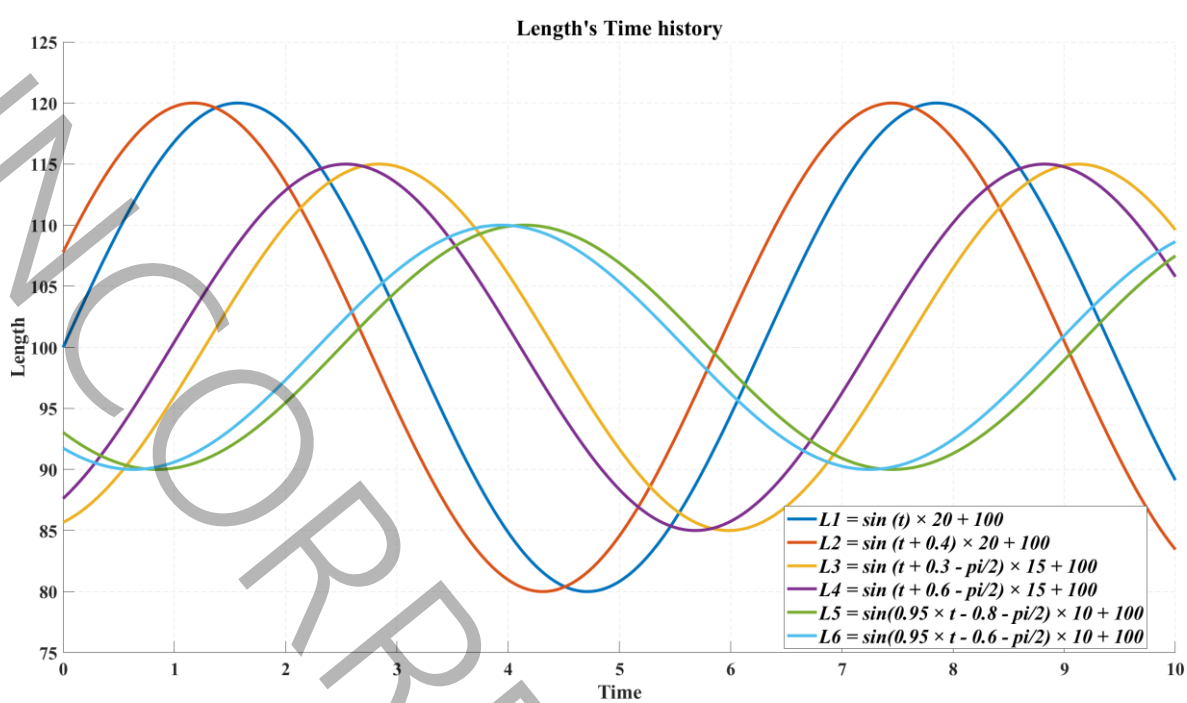
Table 8. Sensors lengths at assumed positions in the asymmetric state.

ستجه	استراحت	۱	۲	۳	۴
$L_1$	$109/544517$	$162/934234$	$232/224749$	$309/185614$	$332/123122$
$L_2$	$113/137078$	$176/738539$	$202/050651$	$246/091764$	$247/543231$
$L_3$	$107/703275$	$115/099147$	$116/654664$	$142/551772$	$289/177609$
$L_4$	$120/138793$	$145/367168$	$192/359986$	$225/494127$	$386/942706$
$L_5$	$87/749634$	$146/857696$	$265/897237$	$357/013156$	$416/529589$
$L_6$	$108/320516$	$115/938029$	$238/055358$	$353/189641$	$417/492661$

جدول ۹. موقعیتهای تئوری پلتفرم متحرک بر اساس طول سنجه ها

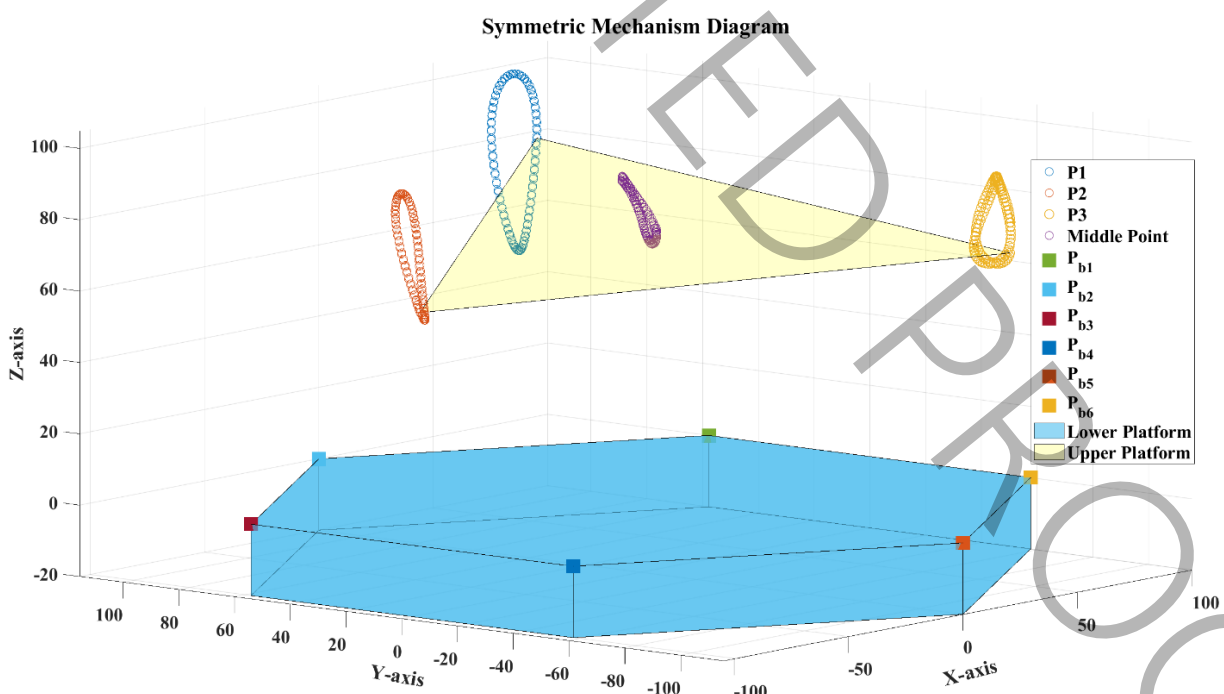
Table 9. Theoretical positions of the moving platform based on the parameter lengths.

خطا (%)	تعداد گام تخمین تا همگرایی	تئوری	مختصات نقطه	وضعیت
$1.45687 \times 10^{-6}$	۱۰	$(69/99378892 \ 111/88379563 \ 162/09258593)$	$P_1$	۱
$2.057058 \times 10^{-4}$		$(-55/66845972 \ 3/9213108 \ 111/56292919)$	$P_2$	
$8.374773 \times 10^{-6}$		$(109/25727915 \ -48/98979609 \ 111/31649854)$	$P_3$	
$2.422373 \times 10^{-1}$	۱۶	$(20/10421930 \ 212/36022294 \ 169/29752641)$	$P_1$	۲
$3.250533 \times 10^{-2}$		$(-38/08021150 \ 54/56937035 \ 127/86371259)$	$P_2$	
$1.223429 \times 10^{-1}$		$(125/43166464 \ 75/36554059 \ 181/7584367)$	$P_3$	
$3.26185 \times 10^{-5}$	۱۳	$(-67/83821350 \ 253/64572471 \ 183/14540345)$	$P_1$	۳
$4.905669 \times 10^{-5}$		$(-57/14574549 \ 82/31309780 \ 160/10310932)$	$P_2$	
$1.450785 \times 10^{-5}$		$(59/88286127 \ 163/96297799 \ 258/27513943)$	$P_3$	
$4.781995 \times 10^{-5}$	۱۹	$(-105/38062134 \ 309/33044236 \ 89/33285221)$	$P_1$	۴
$2.244434 \times 10^{-5}$		$(-175/24371995 \ 240/96003785 \ 222/31809786)$	$P_2$	
$3.632242 \times 10^{-6}$		$(-402895030 \ 265/32094162 \ 222/71631391)$	$P_3$	



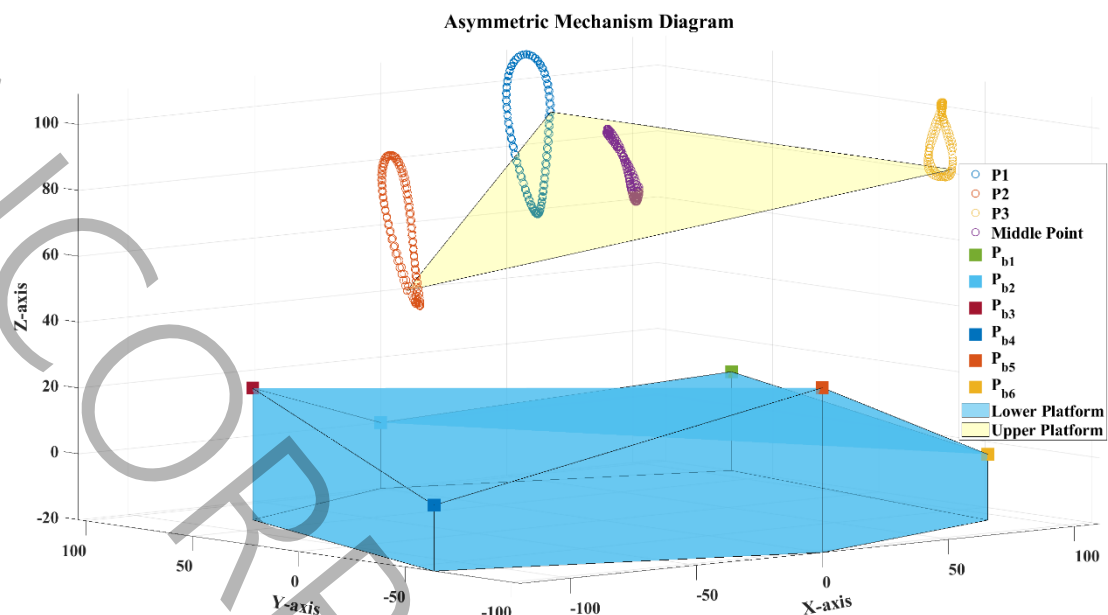
شکل ۵. توابع پیشنهادی در نظر گرفته شده به عنوان ورودی طول هر سنجه

Fig. 5. The proposed functions considered as the input for each leg length.



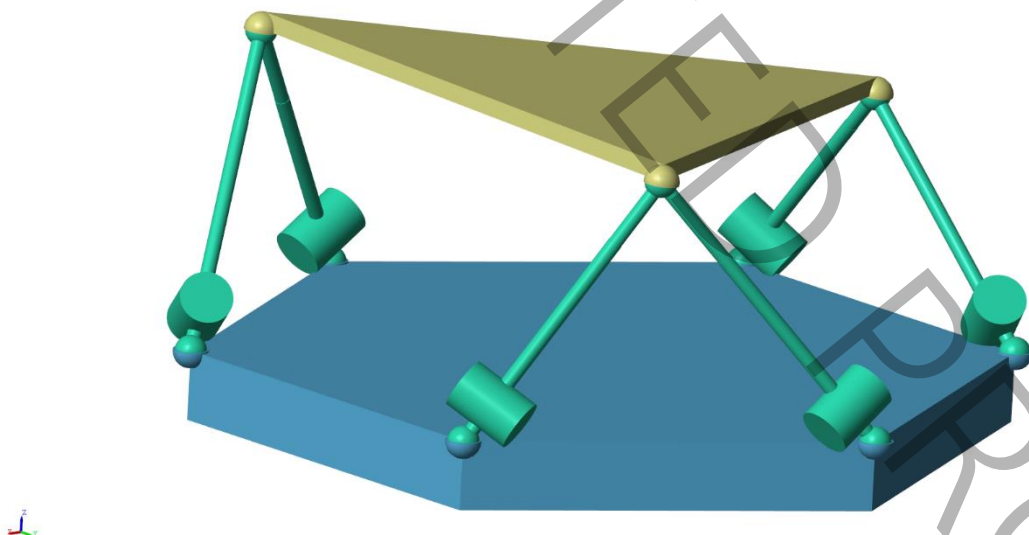
شکل ۶. وضعیت پلتفرم متحرک در فضای هنین اعمال توابع (حالت متقارن)

Fig. 6. The status of the mobile platform in space while applying functions (symmetric configuration).



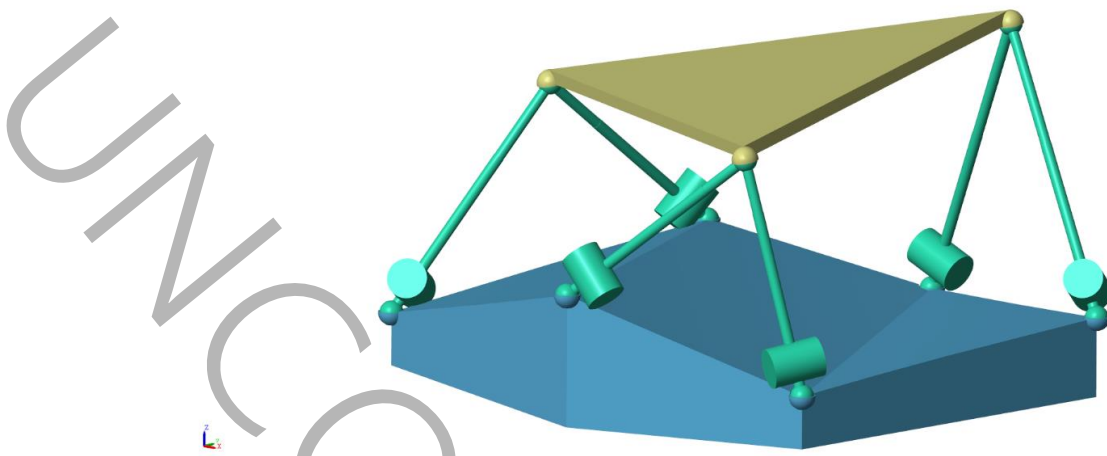
شکل ۷. وضعیت پلتفرم متحرک در فضای حین اعمال توابع (حالت نامتقارن)

Fig. 7. The status of the mobile platform in space while applying functions (asymmetric configuration).



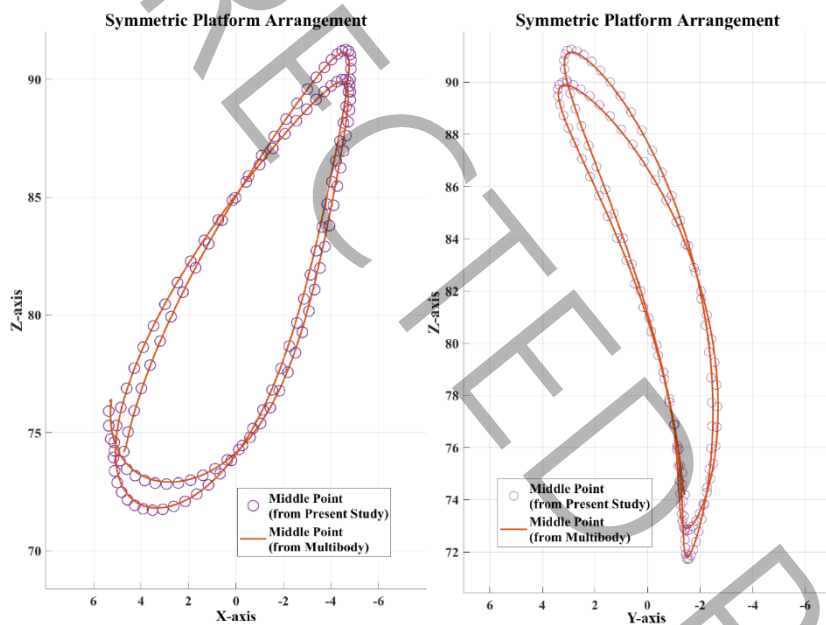
شکل ۸. پلتفرم مونتاژ شده‌ی در محیط مالتی بادی (حالت متقارن و منظم چیدمان پایه‌های ثابت نشان داده شده است)

Fig. 8. The assembled platform in the multibody environment (the symmetrical and orderly arrangement of fixed bases is shown).



شکل ۹. پلتفرم مونتاژ شده‌ی در محیط مالتیبادی (حالت نامتقارن و نامنظم چیدمان پایه‌های ثابت نشان داده شده است)

Fig. 9. The assembled platform in the multibody environment (the irregular arrangement of fixed bases is shown).

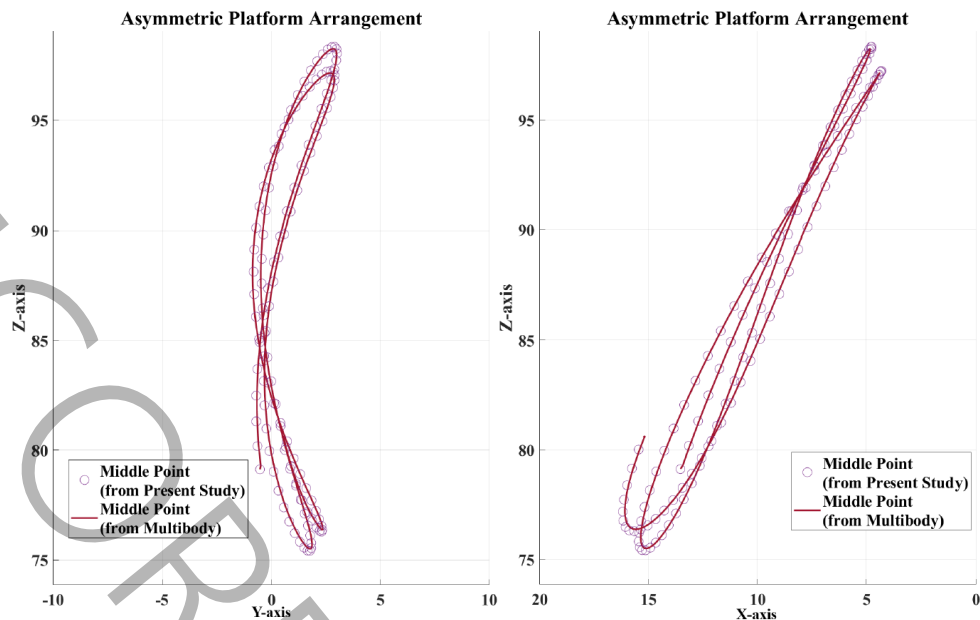


شکل ۱۰. انطباق مسیرهای نقطه‌ی میانی پلتفرم متحرک در حالت متقارن

Fig. 10. The alignment of the mid-point trajectories of the moving platform in the symmetric configuration of the platform actuators.

شکل ۱۰ نمایشگر مسیر نقطه مرکزی پلتفرم متحرک در حالت متقارن است که برای مقایسه‌ی بهتر روش حل پیشنهادی و حل توسط نرم‌افزار سیم‌اسکیپ مالتی‌بادی<sup>۱</sup>، پاسخ‌های هر دو روش از دو نمای مختلف بر روی هم رسم شده‌اند. مسیر حرکتی به دست آمده از محیط نرم‌افزار با دقت

رواداری خطای  $10^9$  استفاده شد. در نهایت با گرفتن خروجی از موقعیت گوشش‌های پلتفرم متحرک نتایج همانند شکل ۹ به دست خواهند آمد. ذکر این نکته ضروری است که این نرم‌افزار معادلات حاکم را به صورت سینتیکی و دیفرانسیل زمانی در نظر می‌گیرد و بدیهی است که هزینه محاسباتی بیشتری را بر پردازشگر تحمیل می‌کند.



شکل ۱۱. انطباق مسیرهای نقطه‌ی میانی پلتفرم متحرک در حالت چیدمان نامنظم (نامتقارن) پایه‌های پلتفرم

**Fig. 11. The alignment of the mid-point trajectories of the moving platform in the asymmetric configuration of the platform actuators.**

جدول ۱۰. تعداد گام مورد نیاز محاسبات برای همگرایی معادله‌ها

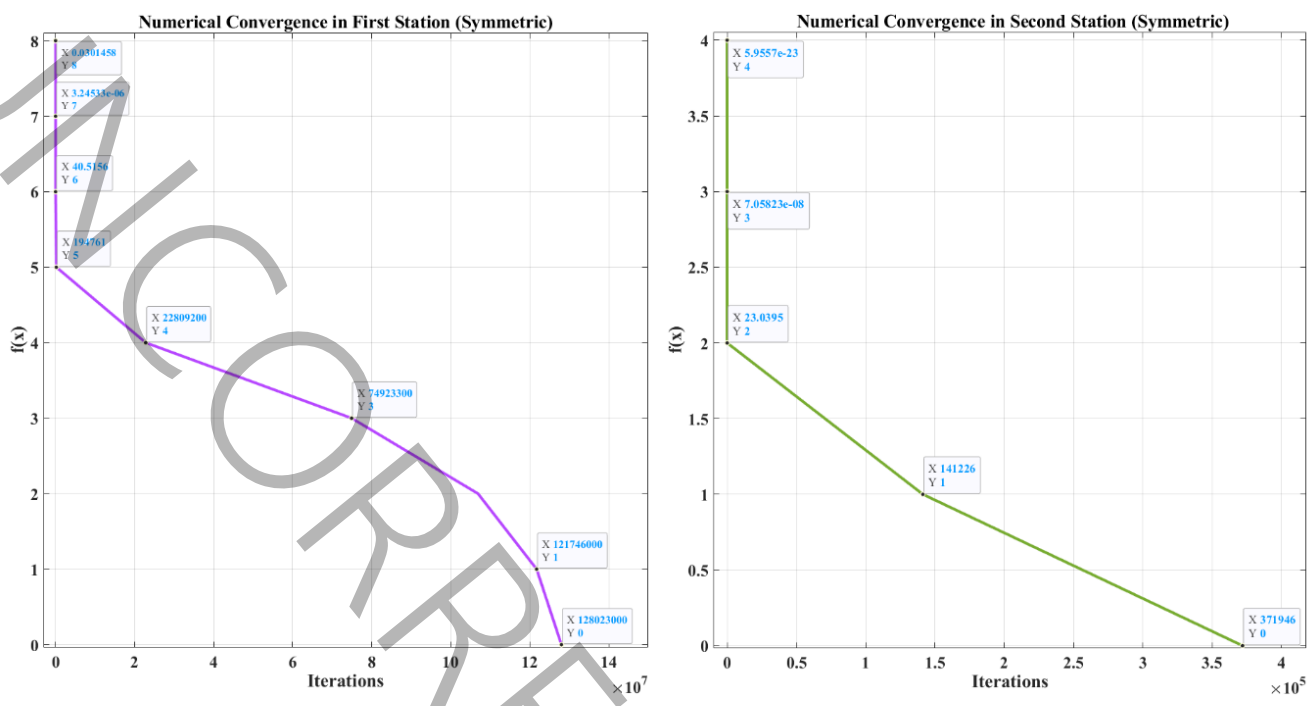
**Table 10. Number of steps required for the calculations to achieve convergence of the equations.**

وضعیت	شرط اولیه ثابت	شرط اولیه بهروز شده	شرط اولیه بهروز شده
۱	۱۰	۱۰	۱۰
۲	۱۴	۱۱	۱۱
۳	۱۳	۱۱	۱۵
۴	۱۸	۱۸	۱۸

همگرایی پاسخ به بررسی آن در ۴ حالت فرض شده در بخش ۴ پرداخته شده است. بدین منظور برای اعمال روند تغییر حالت متوالی از توابع متنابوب اعمال شده در بخش ۵-۱ بهره گرفته شد. همان طور که در جدول ۱۰ قابل مشاهده است، در حالت کلی با بهروزرسانی شرایط اولیه (قرار دادن آخرین وضعیت محاسبه شده به جای حالت استراحت) به دلیل پیوستگی حرکت و نزدیک بودن پاسخ‌ها تعداد گام مورد نیاز برای همگرایی معادله‌ها کاهش می‌یابد و در نهایت زمان کمتری برای حل معادله‌ها نیاز است. همچنین به دلیل اینکه معادله‌های به دست آمده مرتبه دوم هستند و ممکن است جواب‌های خارجی در حین حل معادله‌ها ایجاد شوند، می‌توان با بررسی

بسیاری منطبق بر مسیر تحلیل شده از طریق الگوریتم پیشنهادی است. همچنین نتایج روش پیشنهادی در حالت چیدمان نامنظم نیز منطبق بر مسیر به دست آمده در نرم‌افزار مالتی‌بادی خواهد بود. شکل ۱۱ بیانگر انطباق خروجی‌های یاد شده است.

۵-۳- زمان دسترسی به پاسخ و تأثیر بهروزرسانی شرایط اولیه همان طور که در بخش‌های قبلی اشاره شد، با توجه به حجم محاسباتی کم می‌توان از روش پیشنهادی برای تحلیل مسائل به صورت برخط و زمان واقعی بهره برد. برای بررسی و مقایسه تعداد مراحل مورد نیاز برای



شکل ۱۲. نمودار همگرایی حل معادله ها در حالت متقارن

Fig. 12. Convergence diagram of the equations' solution in the symmetric state.

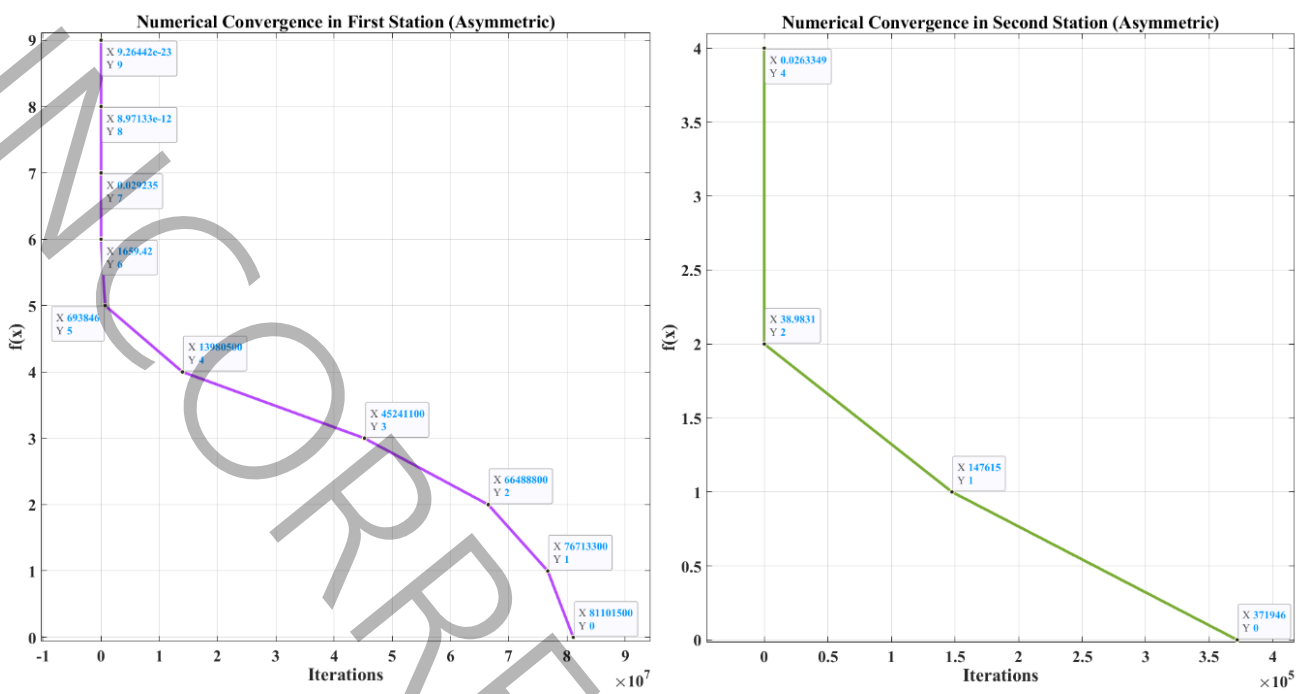
#### ۵-۴- مقایسه با روش مثلثاتی

به عنوان مقایسه با سایر روش ها، در این بخش نتایج یکی از روش های پیشنهادی که معادله های حاکم بر مکانیزم شامل معادله های پیچیده غیرخطی مثلثاتی است که با روشهای مشابه با استفاده از روش حل تکراری نیوتن-رافسون محاسبات آن انجام شده است. نتایج، خطای و تعداد گام های مورد نیاز برای همگرایی پاسخ این روش ذکر شده اند. مرجع معادله های حاکم در این بخش [۲۱] است که شامل معادله های (الف ۲۹-۳۴) ذکر شده در پیوست الف می شود.

برای حل این دستگاه شش معادله - شش مجھول نیز فرضیه های جدول های ۱ و ۲ اعمال می شوند که در نهایت نتایج به صورت جدول های ۱۲ و ۱۳ خواهد بود. همچنین به دلیل اینکه روش مثلثاتی موقعیت مرکز پلتفرم متحرک را به دست می دهد، موقعیت های محاسبه شده از قبل  $P_1$ ،  $P_2$  و  $P_3$  به صورت میانگین در مرکز پلتفرم متحرک برای مقایسه بهتر ذکر شده اند. همانند بخش ۳، می توان نشان داد که ضرایب ماتریس ژاکوبی بدست خواهند آمد (که به دلیل مبسوط بودن و تعدد ضرایب این ماتریس، به عنوان مثال به سه درایه ابتدایی از ردیف اول اشاره شده است):

پاسخ هایی که در همسایگی پاسخ موقعیت قبلی هستند پاسخ های غیر مرتبط را شناسایی کرده و از آنها اجتناب نمود، از این رو به روزرسانی شرایط اولیه حائز اهمیت خواهد بود. در واقعیت، دقت سنجه های طولی به کار رفته در سامانه و نرخ داده برداری از آنها بیانگر تفاوت دو موقعیت متوالی از روند تغییر مکان می باشد؛ از این رو هرچه مقادیر این دو فاکتور بیشتر باشند، تعداد مراحل مورد نیاز برای تخمین موقعیت به طور چشم گیری کاهش می یابد. این در حالی است که بدون به روزرسانی شرایط، فارغ از دقت سنجه های طولی، تعداد مراحل تخمین تقریباً ثابت باقی می ماند.

در شکل های ۱۲ و ۱۳ روند همگرایی حل معادله ها به عنوان مثال برای موقعیت ابتدایی و موقعیت بعدی آن برای میانگین با قیمانده توابع معادلات ( $f$ ) برای دو حالت متقارن و نامتقارن به نمایش درآمده است. با توجه به تفاوت تعداد گام های حل بین مرحله ای اول و دوم (در مرحله ای اول حالت استراحت مکانیزم به عنوان شرایط اولیه در نظر گرفته شده است و در مرحله دوم شرایط اولیه به روز شده است) و همچنین شبیه نمودار همگرایی، به روزرسانی در شرایط اولیه، سرعت همگرایی معادله ها را به صورت قابل ملاحظه ای افزایش می دهد.



شکل ۱۳. نمودار همگرایی حل معادله‌ها در حالت نامتقارن

Fig. 13. Convergence diagram of the equations' solution in the asymmetric state.

علاوه بر محدودیت و پیچیدگی‌های اشاره شده برای روش مثلثاتی در [۲۱]، از نتایج حاصله می‌توان دریافت که تعداد گام‌ها و زمان مورد نیاز حل معادله‌ها با افزایش طول سنسورها به طور چشم‌گیری افزایش می‌یابد؛ بنابراین می‌توان گفت که در کنار خطای محسوس در محاسبه نتایج، به دلیل زمان زیاد حل معادله‌های، این روش برای کاربردهای دقیق و یا به صورت زمان واقعی مناسب نیست.

## ۶- نتیجه‌گیری

پژوهش حاضر یک دیدگاه متفاوت برای کاربرد عملیاتی‌تر پلتفرم استوارت مبتنی بر سینماتیک مستقیم و پیکربندی سنجه‌ای آن ارائه کرد. روش حاضر بر اساس توسعه یک دستگاه شامل نه معادله غیرخطی مرتبه دوم حاکم بر قیود پیکربندی بوده که با استفاده از الگوریتم‌های مختلف عددی همچون روش تکراری نیوتن-رافسون قابل تحلیل است. خروجی این دستگاه مختصات دکارتی سه نقطه از پلتفرم متحرک نسبت به دستگاه مرجع الصاق شده بر روی پلتفرم ثابت خواهد بود. این روش نه تنها دقت و کارایی بالاتری نسبت به روش‌های متدائل پیشین داشت، بلکه گام‌ها و تعداد تکرار

$$K_{11} = 2x + \frac{2\sqrt{2}}{3} (\cos(\psi)\cos(\theta) - \cos(\phi)\sin(\psi) + \cos(\psi)\sin(\phi)\sin(\theta)) - 1.931852 \quad (26)$$

$$K_{12} = 2y + \frac{2\sqrt{2}}{3} (\cos(\phi)\cos(\psi) + \cos(\theta)\sin(\psi) + \sin(\phi)\sin(\psi)\sin(\theta)) - 0.517638 \quad (27)$$

$$K_{13} = 2z + \frac{2\sqrt{2}}{3} (\sin(\theta) - \cos(\theta)\sin(\phi)) \quad (28)$$

در جدول ۱۲ برای مقایسه‌ی بهتر روش حاضر و روش پیشین با توجه مختصات محاسبه شده‌ی گوشه‌های پلتفرم متحرک، مختصات مرکز صفحه حساب شده و خطای حاصل شده در این جدول ذکر شده است.

جدول ۱۱. مختصات تجربی مرکز پلتفرم بالایی

Table 11. Experimental coordinates of the center of the upper platform

وضعیت	مختصات حاصل از نرم‌افزار کتیا
۱	(۴۱/۱۹۴۲۱۳۳۳ ۲۲/۲۷۱۷۷۴۳۳ ۱۲۸/۳۲۳۹۹۷)
۲	(۳۵/۸۴۴۶۲۴ ۱۱۴/۰۱۸۵۳۰۷ ۱۵۹/۴۵۳۵۹۵)
۳	(-۲۱/۷۰۰۳۲۵۶۷ ۱۶۶/۶۴۰۵۵۴۳ ۲۰۰/۵۰۷۹۰۱۳)
۴	(-۹۴/۸۸۴۴۱۱۶۷ ۲۷۱/۸۷۰۴۵۵۳ ۱۸۱/۴۵۵۷۸۹)

جدول ۱۲. مختصات مرکز پلتفرم متحرک بالایی حاصل از روش مثلثاتی

Table 12. Coordinates of the center of the upper mobile platform obtained from the trigonometric method.

خطای روش حاضر (%)	خطا (%)	تعداد گام	مختصات تجربی مرکز صفحه	وضعیت
تخمین تا همگرایی				
۴/۰۵۱۵۴×۱۰ <sup>-۷</sup>	۴/۹۶۶۰۲e <sup>-۱</sup>	۲۲	(۴۰/۹۸۹۶۴۲۰۴ ۲۲/۲۸۸۶۲۵۹۳ ۱۲۸/۴۹۳۸۷۲۳۲)	۱
۵/۱۷۹۵۹×۱۰ <sup>-۴</sup>	۲/۸۰۰۹۸۱۶	۶۹	(۳۴/۹۴۰۶۲۲۶۷ ۱۱۵/۱۸۵۳۶۳۰۷ ۱۶۳/۹۱۹۸۶۰۸۶)	۲
۱/۵۲۶۳۸×۱۰ <sup>-۵</sup>	۱/۶۹۸۸۱۴۸	۱۱۶	(-۲۱/۷۰۹۵۸۲۳ ۱۶۹/۴۷۱۴۶۸۷ ۲۰۱/۳۷۸۵۰۰۶۷)	۳
۸/۴۰۵۹×۱۰ <sup>-۷</sup>	۳/۳۵۰۰۸۴۳	۲۸۵	(-۹۲/۸۴۲۶۲۵۶۶ ۲۸۰/۹۷۸۳۴۴۷۳ ۱۸۵/۴۵۱۳۲۰۰۷)	۴

جدول ۱۳. زوایای اویلر حاصله از روش مثلثاتی

Table 13. Euler angles obtained from the trigonometric method.

$\psi$	$\theta$	$\phi$	وضعیت
۱۹/۳۰۰۶۱۴	۱۰۹/۵۳۴۱۴۲۲	۹۷/۰۰۶۵۲۳۱۴	۱
۱۸/۸۰۴۵۶۲۷	۹۷/۳۸۷۹۶۶۶۱	۱۰۳/۰۴۸۶۳۰۱	۲
۳۷/۱۸۹۵۳۷۴	۹۸/۰۸۰۲۵۷۳۳	۱۲۴/۹۷۳۵۶۶۴۳	۳
۶۹/۶۰۹۲۰۹۶۵	۲۳/۶۳۷۶۶۷۹۴	۹۹/۵۴۷۰۶۹۳۴	۴

## جدول ۱۴. تعداد گام مورد نیاز محاسبات برای همگرایی روش متلتاتی

Table 14. Number of steps required for the calculations to achieve convergence of the trigonometric method.

وضعیت	شرط اولیه ثابت	شرط اولیه بهروز شده
۱	۲۳	۲۳
۲	۶۹	۴۶
۳	۱۱۶	۸۱
۴	۲۸۵	۱۸۴

پیشنهادی انعطاف‌پذیری بالایی در چیدمان نامتقارن پلتفرم‌های متحرک و ثابت پیکربندی سنجهای پلتفرم استوارت داشته و استفاده از آن در کابردات پیچیده را مؤثرتر می‌نماید.

## ۷- فهرست علائم

## علائم انگلیسی

بردار یکه نرمال	$e$
ماتریس ژاکوبی یا ماتریس مماسی	$K_T$
طول اندازه‌گیری شده هر یک از پایه‌ها	$L$
بردار نرمال بر صفحه	$N$
مختصات گوشه‌های پلتفرم متحرک	$P$
مختصات گوشه‌های پلتفرم ثابت	$P_b$
مشخصه زمان برای اعمال تاریخچه زمانی	$t$
بردار متصل کننده دو نقطه	$V$
مختصه طولی هر یک از گوشه‌های پلتفرم ثابت	$X_P$
مختصه طولی مرکز پلتفرم متحرک	$x$
مختصه عرضی هر یک از گوشه‌های پلتفرم ثابت	$Y_P$
مختصه عرضی مرکز پلتفرم متحرک	$y$
مختصه ارتفاع هر یک از گوشه‌های پلتفرم ثابت	$Z_P$
مختصه ارتفاع مرکز پلتفرم متحرک	$z$
علائم یونانی	
زاویه نسبت به محور عرضی	$\theta$
زاویه نسبت به محور طولی	$\phi$
زاویه نسبت به محور ارتفاع	$\psi$

کمتری نسبت به سایر روش‌ها نیازمند بود و سرعت همگرایی بیشتری از روش‌های پیشین داشت. همچنین در مقایسه با روش‌های متداول، معادلات بسیار ساده تری برای استخراج معادلات سیستمیک مکانیزم در نظر گرفته شده است. برای بررسی قابلیت روش پیشنهادی، پلتفرم متحرک در چهار وضعیت متفاوت مورد بررسی قرار گرفت و نتایج آن با نرم‌افزارهای سه‌بعدی مقایسه شد. نتایج حاصل با دقت بالایی به قرائت‌های انجام شده در نرم‌افزار طراحی مهندسی نزدیک بودند. یکی دیگر از بخش‌های تأثیرگذار در زمان و تعداد مراحل حل معادله‌های، بهروزرسانی شرایط اولیه در طی پیش‌روی گام‌های زمانی بود که در نهایت مشخص شد که با در نظر گرفتن این نکته زمان مورد نیاز برای حل مسئله دینامیک مستقیم به طور قابل توجهی کاهش می‌یابد. بدین منظور، برای بررسی قابلیت دیدگاه پیشنهادی تحت شرایط کاربردی تر، از تاریخچه زمانی متناوب شش سنجه طولی برای تولید یک حرکت سه‌بعدی هارمونیک استفاده شد که الگوریتم پیشنهادی به خوبی و با دقت بسیار بالا قادر به پیش‌بینی و تعییب وضعیت پلتفرم متحرک بود. در نهایت، تفاوت دیدگاه حاضر با روش‌های پیشین که مبنی بر توسعه شش معادله غیرخطی مثبتاتی بود بررسی گردید که در نتیجه آن مشخص شد که دیدگاه ارائه شده در پژوهش حاضر برتری محسوسی نسبت به آن دارد. به دلیل سرعت و دقت عددی بالای روش ارائه شده، از این روش می‌توان در زمینه‌های مختلفی از جمله حرکت اجسام متحرک در محیط‌های فضایی و ابزار دقیق مانند کالیبراسیون پهباوهای کنترل از راه دور، تحلیل و مطالعه‌ی جابجایی‌های وارد شده بر سیستم و استفاده از داده‌های به دست آمده برای تحلیل‌های دینامیکی، استاتیکی و حتی بررسی خستگی در سیستم در اجزای متصل کننده ی انعطاف‌پذیر بهره برد. به ویژه که روش

## منابع

- [11] P. Dietmaier, The Stewart-Gough platform of general geometry can have 40 real postures, in: Advances in robot kinematics: Analysis and control, Springer, 1998, pp. 7-16.
- [12] B. Dasgupta, T. Mruthyunjaya, Closed-form dynamic equations of the general Stewart platform through the Newton-Euler approach, Mechanism and machine theory, 33(7) (1998) 993-1012.
- [13] S.-H. Chen, L.-C. Fu, The forward kinematics of the 6-6 Stewart platform using extra sensors, in: 2006 IEEE International Conference on Systems, Man and Cybernetics, IEEE, 2006, pp. 4671-4676.
- [14] A. Nag, V. Safar, S. Bandyopadhyay, A uniform geometric-algebraic framework for the forward kinematic analysis of 6-6 Stewart platform manipulators of various architectures and other related 6-6 spatial manipulators, Mechanism and Machine Theory, 155 (2021) 104090.
- [15] T. Zhiyong, H. Ma, Z. Pei, L. Liu, J. Zhang, A new numerical method for Stewart platform forward kinematics, in: 35th Chinese Control Conference (CCC), Chengdu, China, 2016, pp. pp. 6311-6316.
- [16] S. Jalili, Effect of Irregular Distribution of Joints on Base Platform of Hexapods' Sensory Configuration, in: International Conference of Iranian Society of Mechanical Engineers, Civilica, Tehran, Iran, 2020.
- [17] S. Shim, S. Lee, S. Joo, J. Seo, Denavit-Hartenberg notation-based kinematic constraint equations for forward kinematics of the 3-6 Stewart platform, Journal of Mechanisms and Robotics, 14(5) (2022) 054505.
- [18] P. Ji, H. Wu, A closed-form forward kinematics solution for the 6-6 Stewart platform, IEEE Transactions on robotics and automation, 17(4) (2001) 522-526.
- [19] K. Harib, K. Srinivasan, Kinematic and dynamic analysis of Stewart platform-based machine tool structures, Robotica, 21(5) (2003) 541-554.
- [20] H. Zhu, W. Xu, B. Yu, F. Ding, L. Cheng, J. Huang, A novel hybrid algorithm for the forward kinematics problem of 6 dof based on neural networks, Sensors, 22(14) (2022) 5318.
- [1] D. Stewart, A platform with six degrees of freedom, Proceedings of the institution of mechanical engineers, 180(1) (1965) 371-386.
- [2] M. Almonacid, R.J. Saltaren, R. Aracil, O. Reinoso, Motion planning of a climbing parallel robot, IEEE transactions on robotics and automation, 19(3) (2003) 485-489.
- [3] D. Galván-Pozos, F. Ocampo-Torres, Dynamic analysis of a six-degree of freedom wave energy converter based on the concept of the Stewart-Gough platform, Renewable Energy, 146 (2020) 1051-1061.
- [4] S. Jalili, F. Torabi, Study on Fatigue Life of Engine-Exhaust Pipe Flexible Couplings, in: The Biennial International Conference on Experimental Solid Mechanics (X-Mech-2020), Tehran, Civilica, Tehran, Iran, 2020.
- [5] A.A. Markou, S. Elmas, G.H. Filz, Revisiting Stewart-Gough platform applications: A kinematic pavilion, Engineering Structures, 249 (2021) 113304.
- [6] H. Tourajizadeh, O. Gholami, Z. Mehrvarz, H. B, Design, Modeling, and Optimal Position Control of a New Wrist Rehabilitation Robot Using the Stewart Platform, Amirkabir J. Mech Eng, 54(12) (2023) 2705-2724.
- [7] P.V. Lukianov, V.V. Kabanyachyi, Mathematical model of stable equilibrium operation of the flight simulator based on the Stewart platform, Aviation, 27(2) (2023) 119–128.
- [8] M. Hung Vu, N. Pham Van Bach, T. Nguyen Luong, T. Bui Trung, Kinematics design and statics analysis of novel 6-DOF passive vibration isolator with S-shaped legs based on Stewart platform, Journal of Vibroengineering, 26(1) (2023) 66-78.
- [9] O. Ma, J. Angeles, Architecture singularities of platform manipulators, in: Proceedings. 1991 IEEE International Conference on Robotics and Automation, IEEE Computer Society, 1991, pp. 1542-1547.
- [10] M.L. Husty, An algorithm for solving the direct kinematics of general Stewart-Gough platforms, Mechanism and Machine Theory, 31(4) (1996) 365-379.

International Conference on Experimental Solid Mechanics, Civilica, Tehran, Iran, 2020.

[28] Q. Zhu, Z. Zhang, An efficient numerical method for forward kinematics of parallel robots, *IEEE Access*, 7 (2019) 128758-128766.

[29] S. Karmakar, C.J. Turner, Forward kinematics solution for a general Stewart platform through iteration based simulation, *The International Journal of Advanced Manufacturing Technology*, 126(1) (2023) 813-825.

[30] Y. Zhang, H.-s.-a.-q.-e. Han, Z.-b. Xu, C.-y. Han, Y. Yu, A.-l. Mao, Q.-w. Wu, Kinematics analysis and performance testing of 6-RR-RP-RR parallel platform with offset RR-hinges based on Denavit-Hartenberg parameter method, *Proceedings of the Institution of Mechanical Engineers, Part C: Journal of Mechanical Engineering Science*, 235(18) (2021) 3519-3533.

[31] G. Zhu, S. Wei, D. Li, Y. Wang, Q. Liao, Conformal Geometric Algebra-Based Geometric Modeling Method for Forward Displacement Analysis of 6-4 Stewart Platforms, *Journal of Mechanisms and Robotics*, 16(7) (2024).

[21] T. Charters, R. Enguica, P. Freitas, Detecting singularities of Stewart platforms, *Mathematics-in-Industry Case Studies Journal*, 1 (2009) 66-80.

[22] J. Diebel, Representing attitude: Euler angles, unit quaternions, and rotation vectors, *Matrix*, 58(15-16) (2006) 1-35.

[23] C. Gosselin, L.-T. Schreiber, Redundancy in Parallel Mechanisms: A Review, *Applied Mechanics Reviews*, 70(1) (2018).

[24] X. Liang, X. Zeng, G. Li, T. Su, G. He, Kinematic analysis of three redundant parallel mechanisms for fracture reduction surgery, *Mechanism and Machine Theory*, 188 (2023) 105400.

[25] Z. Wang, J. He, H. Shang, H. Gu, Forward kinematics analysis of a six-DOF Stewart platform using PCA and NM algorithm, *Industrial Robot: An International Journal*, 36(5) (2009) 448-460.

[26] F. Yang, X. Tan, Z. Wang, Z. Lu, T. He, A geometric approach for real-time forward kinematics of the general Stewart platform, *Sensors*, 22(13) (2022) 4829.

[27] S. Jalili, F. Torabi, Sensory Configuration of Stewart Platform-A Numerical Study, in: *The Biennial*

چگونه به این مقاله ارجاع دهیم

A. Pakdelnejad1, S. Jalili, *Sensory Configuration of Stewart Platform by Pre-senting a High-Performance Computational Procedure*, Amirkabir J. Mech Eng., 56(6) (2024) 857-884.

DOI: [10.22060/mej.2024.23053.7713](https://doi.org/10.22060/mej.2024.23053.7713)



$$L_1^2(x, y, z, \psi, \theta, \phi) = \left( z + \frac{\sqrt{2}}{3} [\sin \theta - \cos \theta \sin \phi] \right)^2 + \\ \left( -\frac{1+\sqrt{3}}{2\sqrt{2}} + x + \frac{\sqrt{2}}{3} [\cos \psi \cos \theta - \cos \phi \sin \psi + \cos \psi \sin \theta \sin \phi] \right)^2 + \quad (\text{الف } ۲۹)$$

$$\left( \frac{1-\sqrt{3}}{2\sqrt{2}} + y + \frac{\sqrt{2}}{3} [\cos \theta \sin \psi + \cos \psi \cos \phi + \sin \psi \sin \theta \sin \phi] \right)^2$$

$$L_2^2(x, y, z, \psi, \theta, \phi) = \left( z + \frac{-1+\sqrt{3}}{3\sqrt{2}} \sin \theta - \frac{1+\sqrt{3}}{3\sqrt{2}} \cos \theta \sin \phi \right)^2 + \quad (\text{الف } ۳۰)$$

$$\left( -\frac{1+\sqrt{3}}{2\sqrt{2}} + x + \frac{-1+\sqrt{3}}{3\sqrt{2}} \cos \psi \cos \theta - \frac{1+\sqrt{3}}{3\sqrt{2}} [\cos \phi \sin \psi - \cos \psi \sin \theta \sin \phi] \right)^2 +$$

$$\left( -\frac{1+\sqrt{3}}{2\sqrt{2}} + y + \frac{-1+\sqrt{3}}{3\sqrt{2}} \cos \theta \sin \psi + \frac{1+\sqrt{3}}{3\sqrt{2}} [\cos \psi \cos \phi - \sin \psi \sin \theta \sin \phi] \right)^2$$

$$L_3^2(x, y, z, \psi, \theta, \phi) = \left( z - \frac{1+\sqrt{3}}{3\sqrt{2}} \sin \theta - \frac{-1+\sqrt{3}}{3\sqrt{2}} \cos \theta \sin \phi \right)^2 + \quad (\text{الف } ۳۱)$$

$$\left( \frac{1}{\sqrt{2}} + x - \frac{1+\sqrt{3}}{3\sqrt{2}} \cos \psi \cos \theta + \frac{-1+\sqrt{3}}{3\sqrt{2}} [-\cos \phi \sin \psi + \cos \psi \sin \theta \sin \phi] \right)^2 +$$

$$\left( -\frac{1}{\sqrt{2}} + y - \frac{1+\sqrt{3}}{3\sqrt{2}} \cos \theta \sin \psi + \frac{-1+\sqrt{3}}{3\sqrt{2}} [\cos \psi \cos \phi + \sin \psi \sin \theta \sin \phi] \right)^2$$

$$L_4^2(x, y, z, \psi, \theta, \phi) = \left( z - \frac{1+\sqrt{3}}{3\sqrt{2}} \sin \theta + \frac{-1+\sqrt{3}}{3\sqrt{2}} \cos \theta \sin \phi \right)^2 + \quad (\text{الف } ۳۲)$$

$$\left( \frac{1}{\sqrt{2}} + x - \frac{1+\sqrt{3}}{3\sqrt{2}} \cos \psi \cos \theta - \frac{-1+\sqrt{3}}{3\sqrt{2}} [-\cos \phi \sin \psi + \cos \psi \sin \theta \sin \phi] \right)^2 +$$

$$\left( \frac{1}{\sqrt{2}} + y - \frac{1+\sqrt{3}}{3\sqrt{2}} \cos \theta \sin \psi + \frac{1-\sqrt{3}}{3\sqrt{2}} [\cos \psi \cos \phi + \sin \psi \sin \theta \sin \phi] \right)^2$$

$$L_5^2(x, y, z, \psi, \theta, \phi) = \left( z + \frac{-1+\sqrt{3}}{3\sqrt{2}} \sin \theta + \frac{1+\sqrt{3}}{3\sqrt{2}} \cos \theta \sin \phi \right)^2 + \quad (\text{الف } ۳۳)$$

$$\left( \frac{-1+\sqrt{3}}{2\sqrt{2}} + x + \frac{-1+\sqrt{3}}{3\sqrt{2}} \cos \psi \cos \theta - \frac{1+\sqrt{3}}{3\sqrt{2}} [-\cos \phi \sin \psi + \cos \psi \sin \theta \sin \phi] \right)^2 +$$

$$\left( \frac{1+\sqrt{3}}{2\sqrt{2}} + y + \frac{-1+\sqrt{3}}{3\sqrt{2}} \cos \theta \sin \psi - \frac{1+\sqrt{3}}{3\sqrt{2}} [\cos \psi \cos \phi + \sin \psi \sin \theta \sin \phi] \right)^2$$

$$L_6^2(x, y, z, \psi, \theta, \phi) = \left( z + \frac{\sqrt{2}}{3} [\sin \theta + \cos \theta \sin \phi] \right)^2 + \quad (\text{الف } ۳۴)$$

$$\left( -\frac{1+\sqrt{3}}{2\sqrt{2}} + x + \frac{\sqrt{2}}{3} [\cos \psi \cos \theta + \cos \phi \sin \psi - \cos \psi \sin \theta \sin \phi] \right)^2 +$$

$$\left( \frac{-1-\sqrt{3}}{2\sqrt{2}} + y + \frac{\sqrt{2}}{3} [\cos \theta \sin \psi - \cos \psi \cos \phi - \sin \psi \sin \theta \sin \phi] \right)^2$$